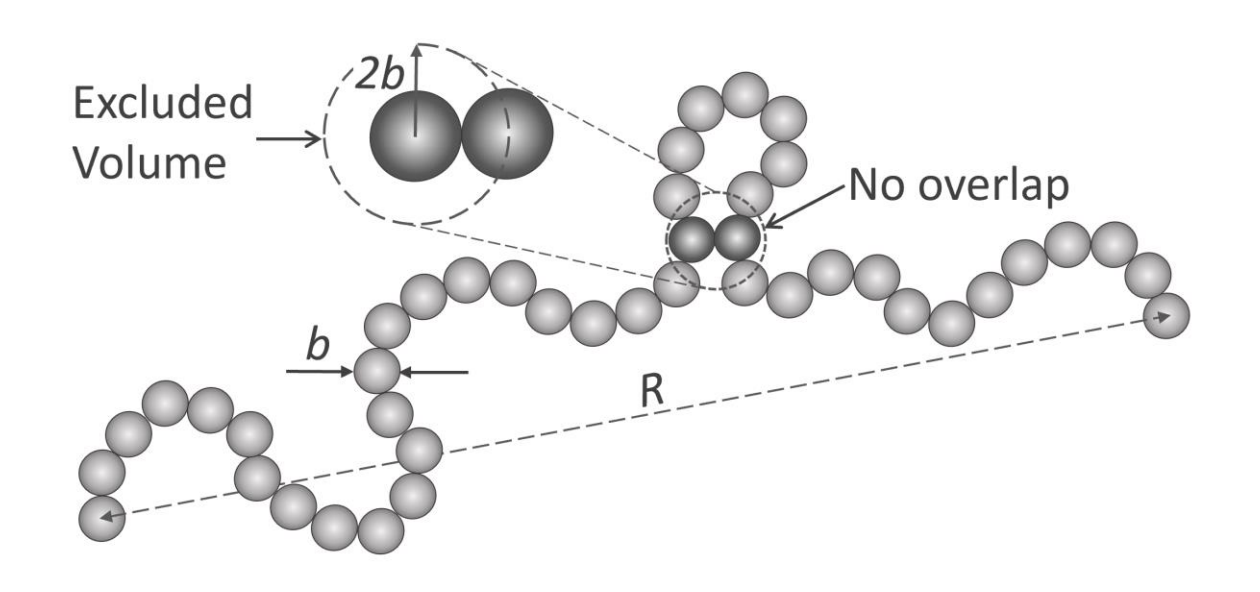
А.В.Чертович Введение в физику полимеров.



Взаимодействия в полимерных системах

Какие бывают взаимодействия в полимерных системах?

Известные фундаментальные физические взаимодействия:

Вид взаимодействия	Текущее описание теорией	Относительная сила	Зависимость от расстояния	Радиус воздействия
<u>Гравитация</u>	Общая теория относительности (ОТО)	1	$\sim \frac{1}{r^2}$	∞
<u>Слабое</u>	<u>Теория электрослабого</u> взаимодействия (ТЭВ)	10 ²⁵	$\sim \frac{1}{r}$	10 ⁻¹⁸
<u>Электромагнитное</u>	<u>Квантовая электродинамика (КЭД)</u>	10 ³⁶	$\sim \frac{1}{r^2}$	∞
<u>Сильное</u>	Квантовая хромодинамика (КХД)	10 ³⁸	~r	10 ⁻¹⁵

Различные взаимодействия в полимерных системах все являются проявлением электромагнитного взаимодействия!

- 1. Исключенный объем
- 2. Ван-дер-Ваальс
- 3. Электростатические взаимодействия
- 4. Гидрофобно-гидрофильные взаимодействия
- 5. Водородные и ионные связи

Johannes Diderik van der Waals (1837-1923)

Доказал, что <u>агрегатные состояния</u> газа и жидкости базируются на одном физическом принципе (Нобелевская премия 1910 года)

Уравнение состояния неидеального газа

$$\left(P + \frac{a}{V_m^2}\right)(V_m - b) = RT$$

Притяжение между молекулами

Исключенный объем

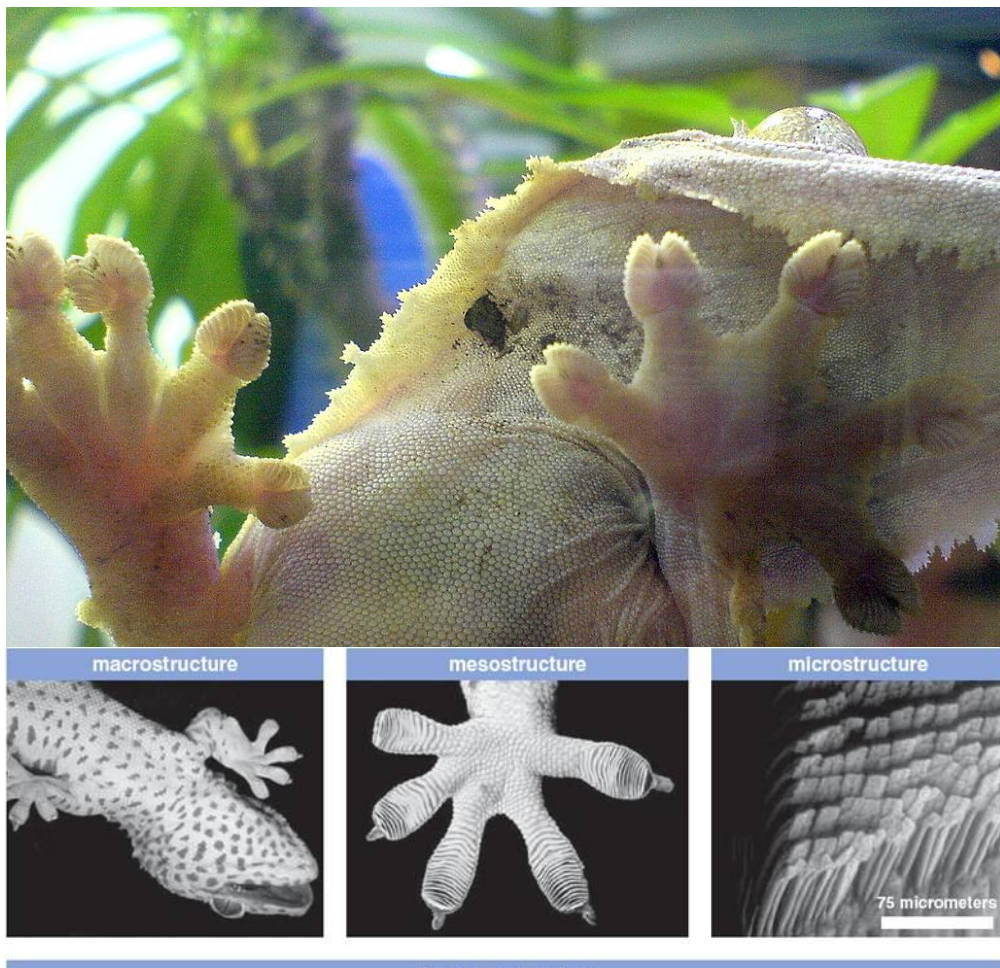
К «Ван-дер-Ваальсовым» силам как правило относят:

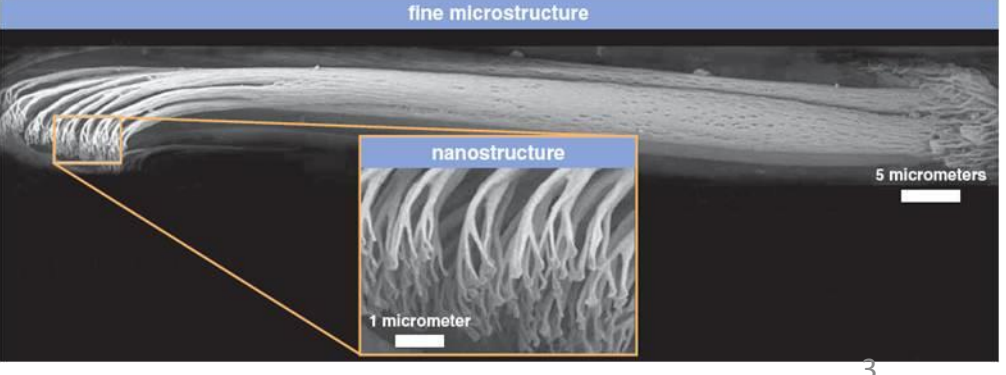
- 1. Отталкивание исключенного объема.
- 2. Электростатические взаимодействия.
- 3. Индукционные взаимодействия (между наведенными диполями).
- 4. Дисперсионные взаимодействия (Лондонские силы).



Основные свойства взаимодействий Ван-дер Ваальса:

- Слабые (намного слабее чем ковалентные или ионные связи).
- Аддитивны (не насыщающиеся).
- Всенаправленны (нет выделенного направления).
- Короткодействующие (порядка размера молекулы).
- Не зависят от температуры.





Дисперсионные силы Лондона

Fritz London (1900-1954), в 1930х годах объяснил притяжение между симметричными молекулами и атомами.

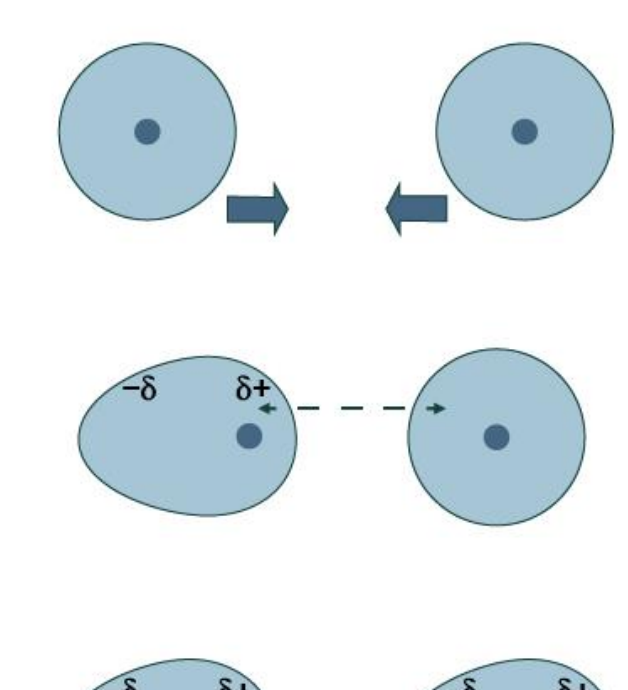
С помощью квантовой механики (стационарная теория возмущений второго порядка) вывел закономерность для двух взаимодействующих нейтральных атомов:

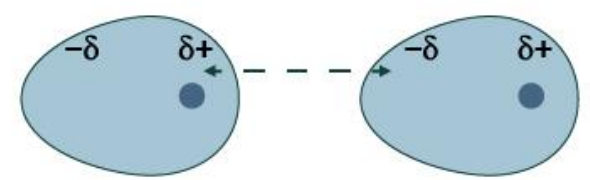
$$E_{disp} = -rac{C}{r^6}$$
 Быстрое спадание

$$C = \frac{3}{2} \alpha_A \cdot \alpha_B \cdot \frac{I_A \cdot I_B}{I_A + I_B}$$



Потенциал ионизации





- Вызваны флуктуациями электронной плотности и соответствующей «моментальным» отклонением электронной плотности в соседних атомах.
- Дисперсионные силы имеют квантовую природу, но относятся к классическим взаимодействиям.

THE GENERAL THEORY OF MOLECULAR FORCES.

By F. London (Paris).

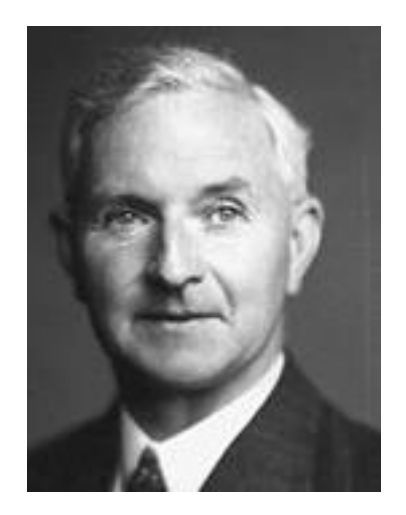
Received 31st July, 1936.

Following Van der Waals, we have learnt to think of the molecules as centres of forces and to consider these so-called *Molecular Forces* as the common cause for various phenomena: The deviations of the gas equation from that of an ideal gas, which, as one knows, indicate the

Более удобный вид учета взаимодействия:

$V(r) = 4arepsilon \left[\left(rac{\sigma}{r} ight)^{12} - \left(rac{\sigma}{r} ight)^{6} ight]$

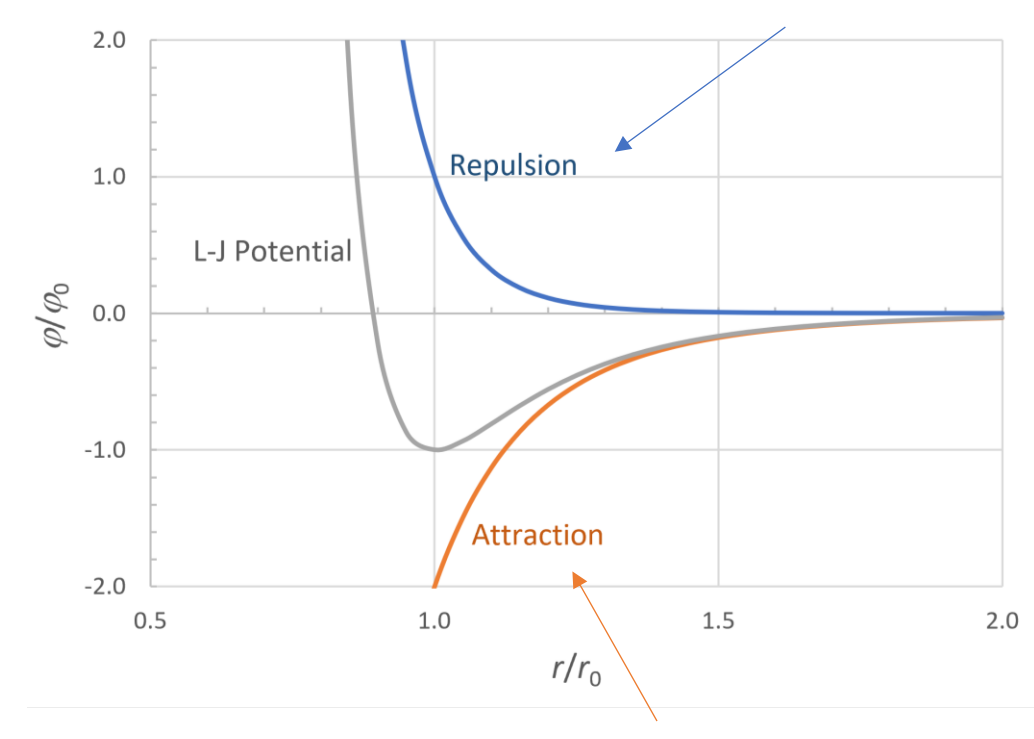
Потенциал Леннард-Джонса



Sir John Edward Lennard-Jones (1894 - 1954)

перекрытие электронных облаков молекулы

(обменное взаимодействие = исключенный объем)



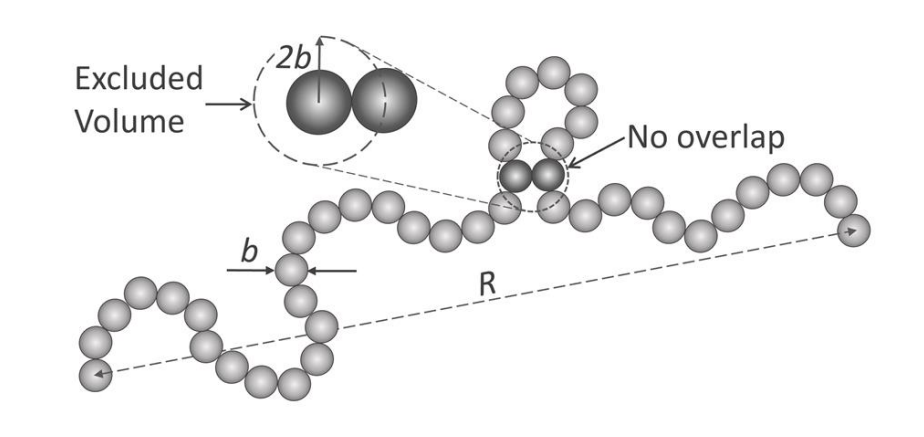
Такой простой вид потенциала позволяет описать всю фазовую диаграмму, включая кристаллы и сверхкритику.

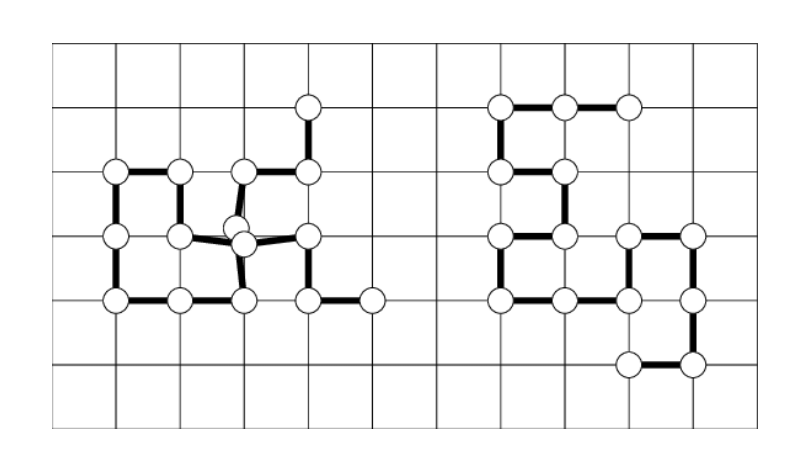
диполь-дипольное индуцированное взаимодействие (силы Ван-дер-Вальса)

Проблема исключенного объема

Два мономерных звена не могут занимать один и тот же объем, однажды занятый объем «исключается» для других звеньев.

На первый взгляд, это лишь незначительное изменение конформации. Однако: полимерные клубки очень чувствительны к воздействиям, учет исключенного объема приводит к «набуханию» клубка





По аналогии со случайным блужданием проблема исключенного объема переходит в «блуждание без самопересечений» - self-avoiding walk (SAW)

Численный способ решить проблему «в лоб» - строить множество траекторий блуждания длиной N, и отбрасывать все у которых есть хотя бы одно пересечение. Таких траекторий будет намного меньше и в среднем они будут более развернутые.

Для характеристики изменений размера клубка введем «коэффициент набухания» α — насколько наблюдаемый размер клубка R отличается от соответствующего

$$\alpha^2 = \frac{\langle R^2 \rangle}{\langle R_0^2 \rangle}$$

 $\alpha < 1$

 $\alpha \equiv 1$

 $\alpha > 1$

Globule

Ideal Chain (Gaussian)

Swollen Chain (SAW)





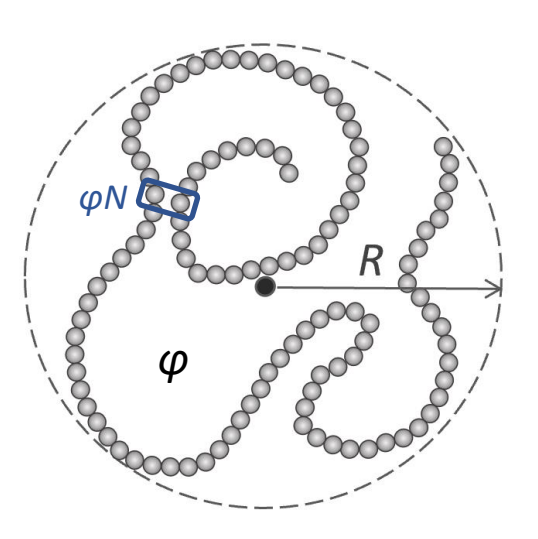


«Подход Флори» набухания полимерного клубка

Концентрация звеньев в идеальном клубке длиной N: $\varphi \sim N^{-\frac{1}{2}}$

Число вероятных «парных» столкновений: $N \varphi \sim N^{\frac{1}{2}}$

Рядом с каждой из N частиц другая частица находится с вероятностью ф



Число «тройных» столкновений $N\varphi^2\sim 1$ — пренебрежимо мало, остальные еще реже.

Свободная энергия: F = U - TS, причем справедливо «вириальное разложение» $U = V k_B T [\varphi^2 \mathbf{B} + \varphi^3 \mathbf{C} + \cdots]$ справедливо при $\varphi \ll 1$

энергия взаимодействий ≠ 0 для цепи с исключенным объемом

Обычно В растет с ростом температуры: притяжение ослабевает, играет роль только исключенный объем. При $\mathbf{B} = 0 - \theta$ -точка (θ -температура) — притяжение компенсируется отталкиванием, цепь становится идеальной.

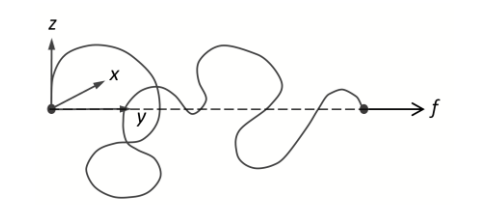
«Второй вириальный коэффициент»

В ≈ 0 – идеальная цепь

В > 0 — набухание

В < 0 – коллапс

«Подход Флори» набухания полимерного клубка



Свободная энергия:

$$F(\alpha) = U(\alpha) - TS(\alpha)$$

баланс упругости и набухания

В равновесии $F = \min, \frac{\partial F}{\partial \alpha} = 0$

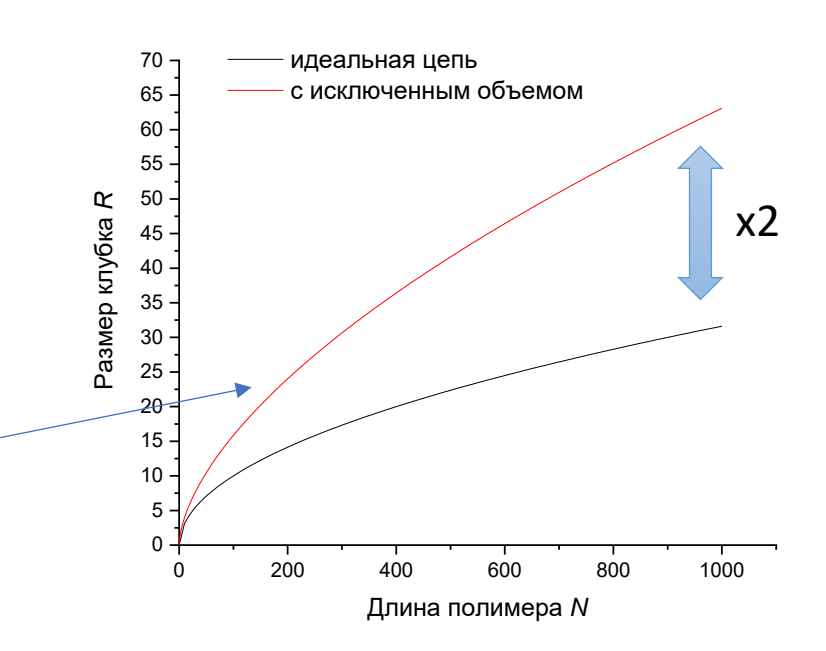
Набухание за счет исключенного объема

$$U(\alpha) = V k_B T \varphi^2 \mathbf{B} \approx \frac{k_B T \mathbf{B} N^{\frac{1}{2}}}{l^3 \alpha^3}$$

$$V \approx R^3 \quad \varphi \approx \frac{N}{R^3}$$

$$R \approx \alpha l N^{\frac{1}{2}}$$

$$S(\alpha) \approx -\frac{k_B 3R^2}{2Nl^2} = -\frac{3}{2}k_B \alpha^2$$



$$F(\alpha) = \frac{k_B T \boldsymbol{B} N^{\frac{1}{2}}}{l^3 \alpha^3} + \frac{3}{2} k_B T \alpha^2$$

$$\frac{\partial F}{\partial \alpha} = -3 \frac{k_B T \mathbf{B} N^{\frac{1}{2}}}{l^3 \alpha^4} + 3k_B T \alpha = 0$$

$$\alpha_{eq} = \left(\frac{N^{\frac{1}{2}}\mathbf{B}}{l^3}\right)^{\frac{1}{5}} \sim N^{\frac{1}{10}}$$

Коэф. набухания не константа, он зависит от длины цепи.

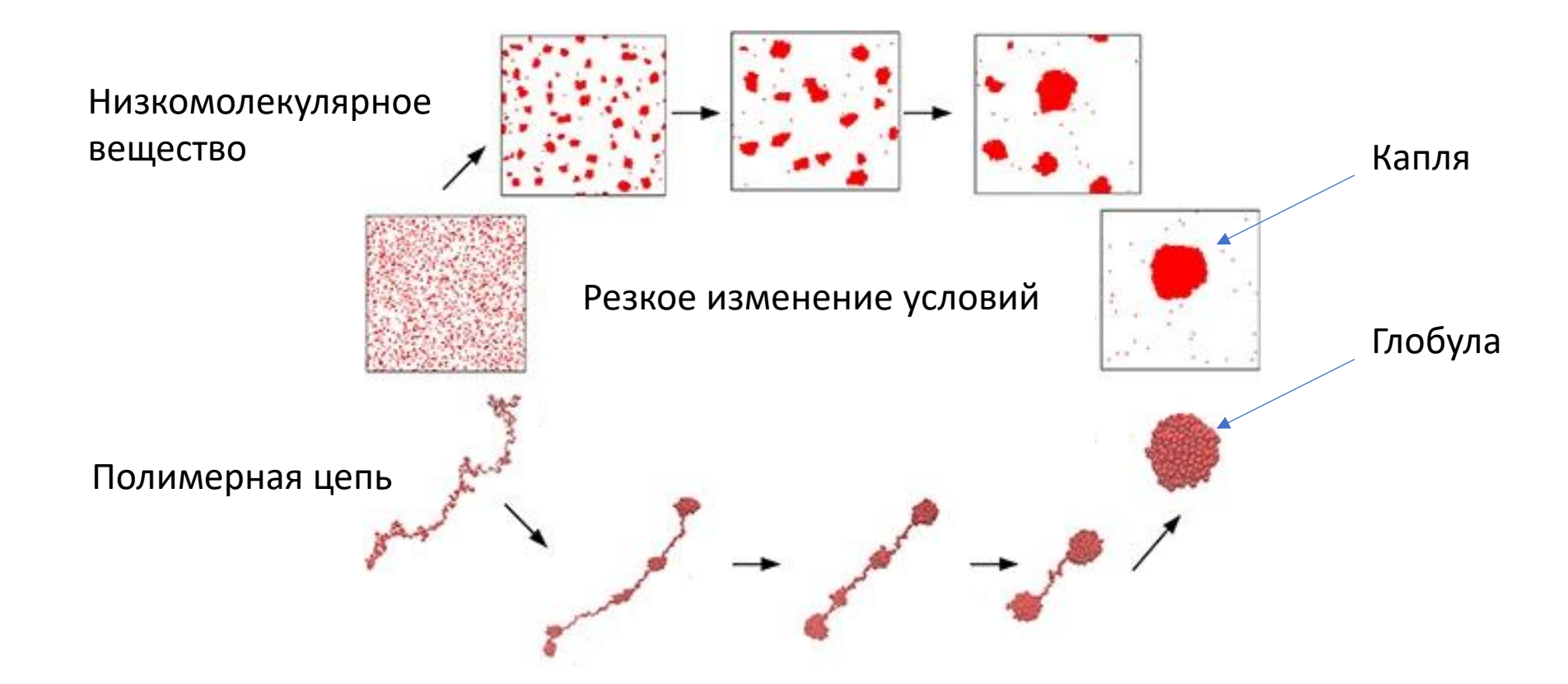
$$R \approx \alpha R_0 \sim N^{\frac{1}{10}} N^{\frac{1}{2}} = N^{\frac{3}{5}}$$

«Плохой» и «хороший» растворители

При отталкивании между звеньями цепочка набухает, такой растворитель называется «хорошим» (good).

Что если контакт двух мономерных звеньев энергетически выгоден, они притягиваются? В разбавленном растворе происходит «поджатие» и последующий «коллапс» клубка. Такой растворитель называется «плохой» (poor).

Промежуточный растворитель, при котором набухание компенсирует поджатие, называется θ -растворитель (θ -условия, θ -температура), а соответствующая состояние - θ -точка.



«Плохой» и «хороший» растворители

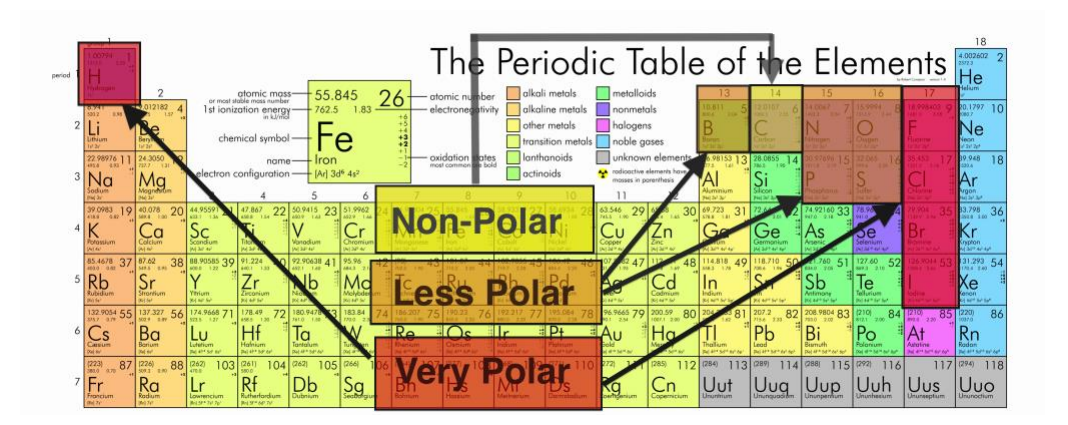
F = E - TS. Поскольку Ван-дер-Ваальсовы взаимодействия слабо зависят от температуры, а энтропия зависит линейно, многие полимеры становятся растворимы после достижения определенной температуры, которая и есть θ -температура.

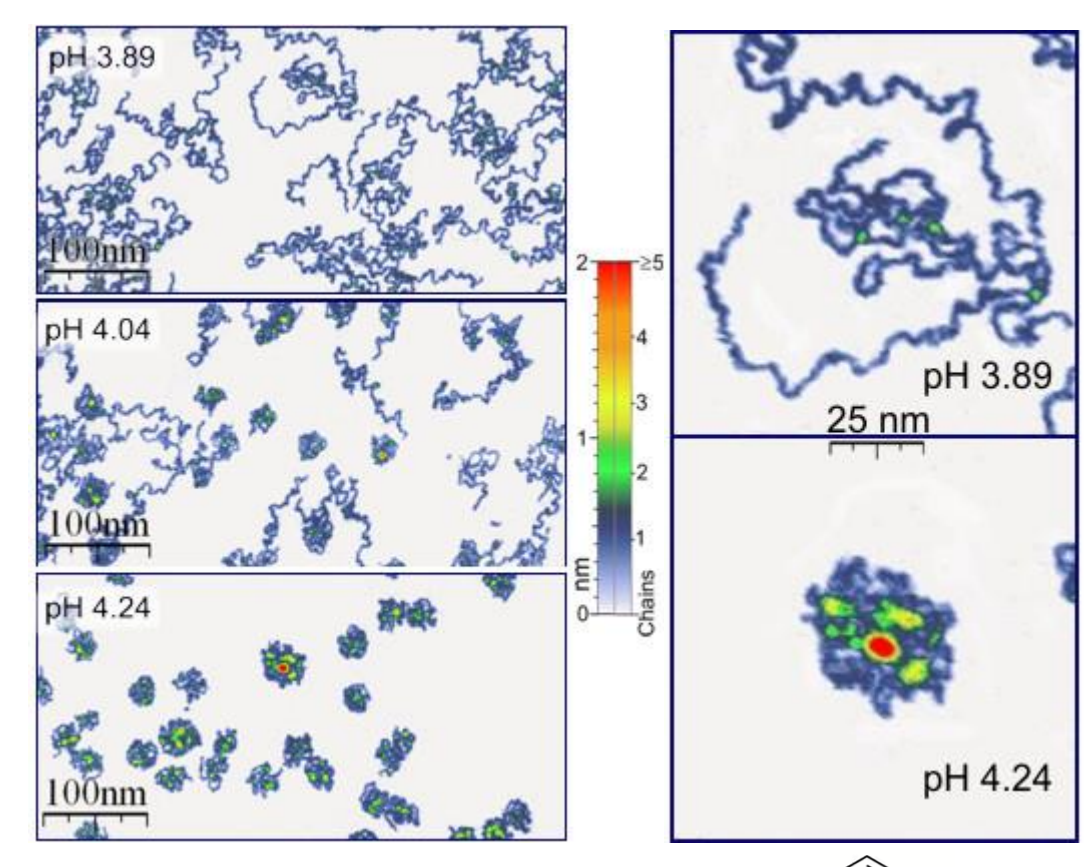
Как узнать, какой растворитель хороший или плохой, для конкретного полимера?

Общее правило: «похожее растворяется в похожем».

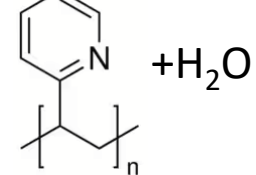
+ температура значительно увеличивает растворимость!

Наиболее плохо растворимые полимеры: Полиэтилен (PE), Полиэтилентерафталат (PET), Политетрафторэтилен (PTFE - Teflon)



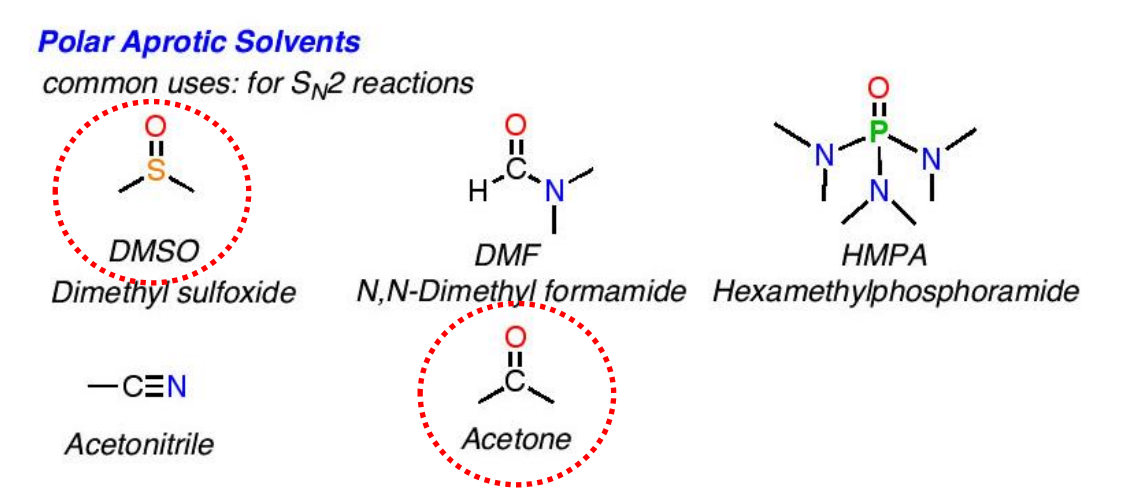


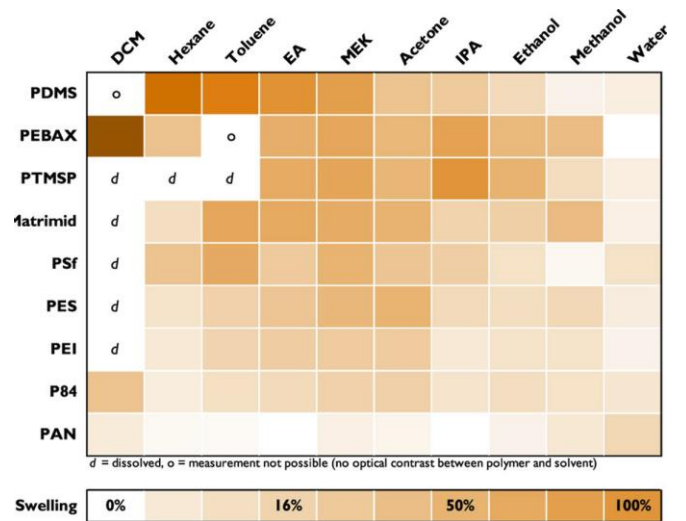
Poly(2-vinylpyridine), AFM in fluid cell. *JACS*, **2005**, *127*(*45*), 15688

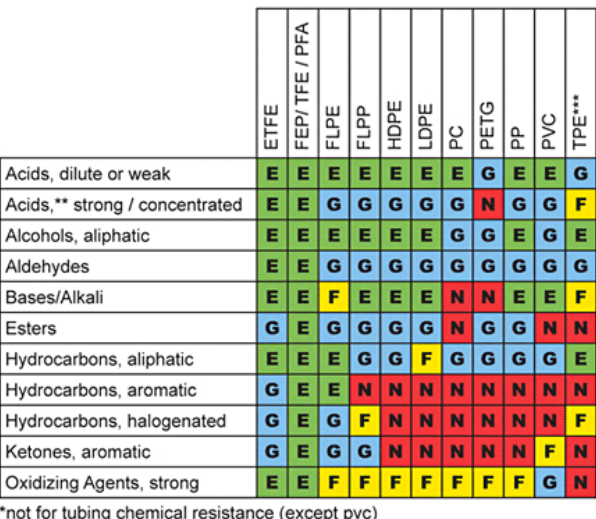


NB: Одиночные глобулы возможно наблюдать только при исключительных условиях. Обычно глобулы слипаются и выпадают в осадок. Важное исключение — ферменты! Полуразбавленный раствор выпадает в осадок хлопьями.

Типичные растворители и таблица растворимости/устойчивости







^{*}not for tubing chemical resistance (except pvc)

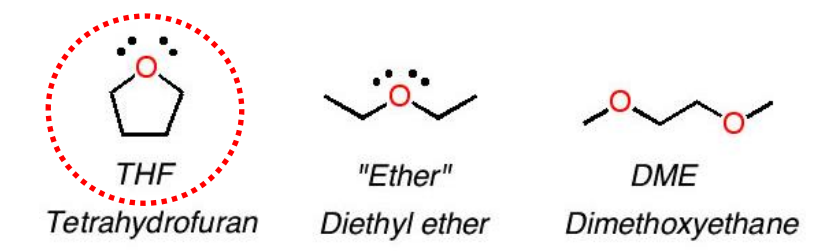
Chlorinated Solvents

common uses: free radical reactions, halogenation reactions

CCI₄ CHCl3 CH₂Cl₂ Carbon tetrachloride Chloroform Dichloromethane (Methylene chloride)

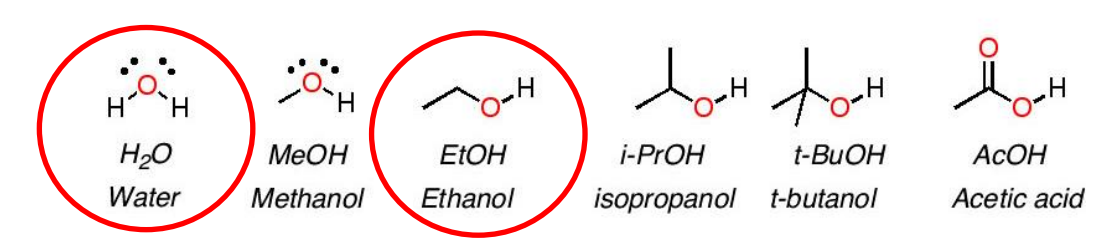
Ethers

common uses: Grignard reactions, reactions of organolithiums

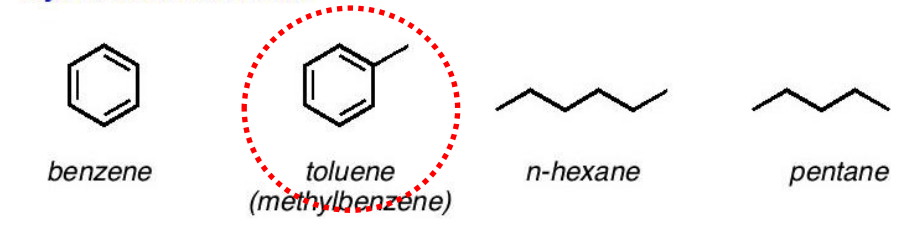


Polar protic solvents

common uses: S_N1 and E₁ reactions, reactions involving acids and bases



Hydrocarbon solvents



^{**}except for oxiding acids (see Oxidizing Agents, strong)

Термочувствительные полимеры и эффект "несорастворимости"

Pages 2875-3098

Термочувствительные полимеры: полимеры с «обратной» зависимостью растворимости от температуры. Это происходит за счет перестроения сетки водородных связей.

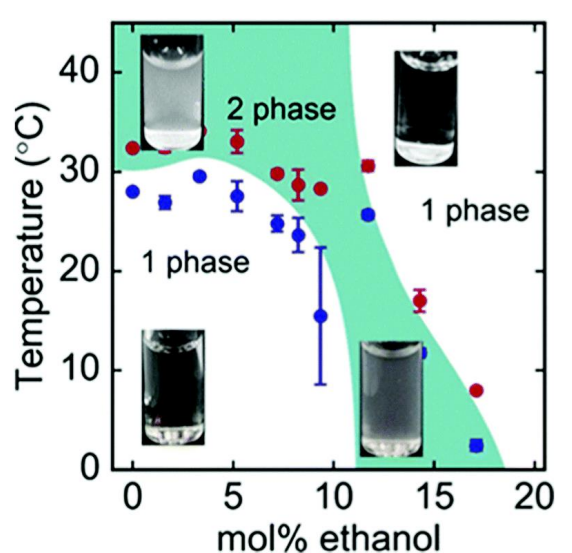
Примеры:

Poly-N-isopropyl acryl amide (PNIPA)

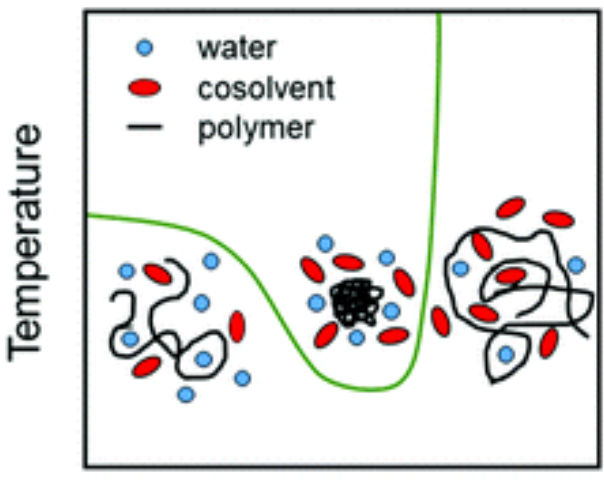
Poly-N-vinylcaprolactam (PNVCL)

Сонерастворимость (cononsolvency) полимера в двух растворителях: растворимость отдельно в каждом растворителе, но выпадение в осадок в их смеси.

Polypeptides

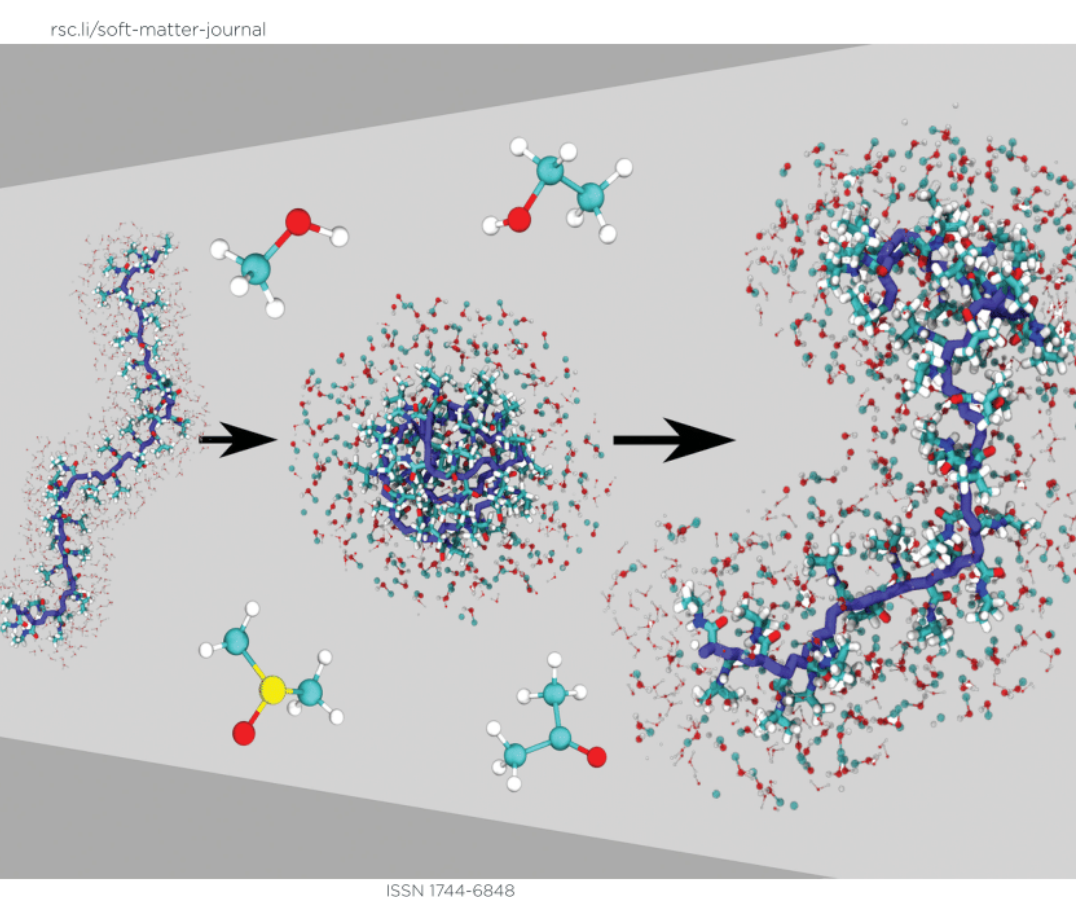


θ-temperature



Cosolvent fraction

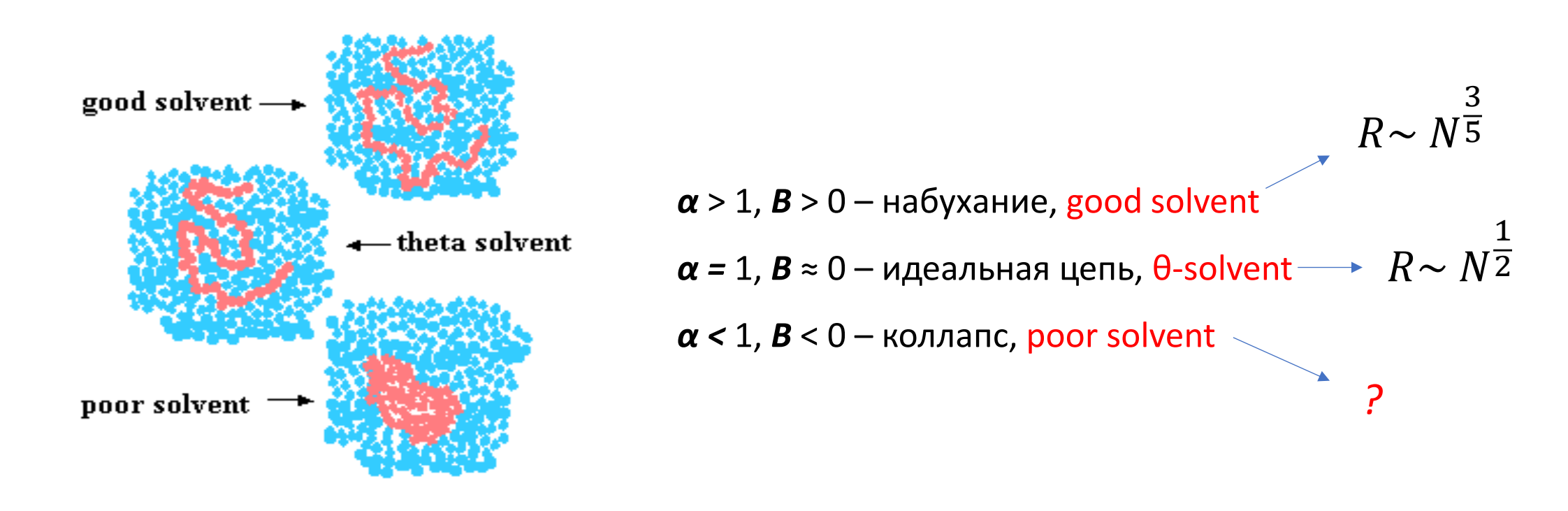
Soft Matter





$$\alpha^2 = \frac{\langle R^2 \rangle}{\langle R_0^2 \rangle}$$

Три состояния одиночной полимерной цепи:



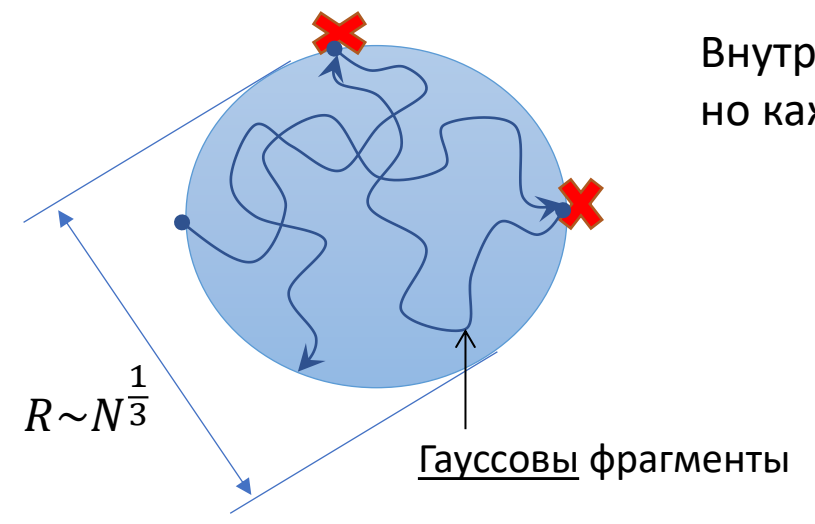
Как зависит радиус плотной капли от количества молекул? N $\approx V = \frac{4}{3}\pi R^3 \Rightarrow R \sim N^{\frac{1}{3}}$

Рассмотрим одновременно набухание и коллапс:

 α – коэффициент набухания

переход клубок-глобула

Чему равна энтропия полимерной глобулы размером αR ?



Внутри глобулы все конформации «невозмущенные» (работает теорема Флори), но каждый «вынужденный поворот» добавляет проигрыш в энтропии $\sim k_B T$

> Средняя длина цепи, не чувствующая край глобулы $g^* \sim R^2 = N^{\frac{1}{3}}$, всего таких участков $\frac{N}{a^*}$

> > Общий проигрыш в энтропии при зажатии в сферу αR :

$$-TS \sim k_B T \frac{N}{R^2} = k_B T \frac{1}{\alpha^2}$$

$$R_0^2$$

Энтропийный вклад:
$$-TS(\alpha) \sim k_B T \left(\alpha^2 + \frac{1}{\alpha^2}\right)$$

Набухший клубок

«Интерполяционная» формула имеет минимум при $\alpha = 1$

Переход клубок-глобула

Рассмотрим возможность притяжения между мономерными звеньями: $\mathbf{\textit{B}} < 0$ (T < θ).

Надо рассматривать следующее приближение вириального разложения, учитывающее тройные столкновения.

$$U = V k_B T [\varphi^2 \mathbf{B} + \varphi^3 \mathbf{C} + \cdots]$$
 обычно $\mathbf{C} > 0$.

$$F(\alpha) = U(\alpha) - TS(\alpha)$$

Энтропийный вклад:
$$-TS(\alpha) \sim k_B T \left(\alpha^2 + \frac{1}{\alpha^2}\right)$$

Энергетический вклад:

$$U(\alpha) \sim R^3 k_B T(\varphi^2 \mathbf{B} + \varphi^3 \mathbf{C}) \sim k_B T \left[\frac{\mathbf{B} N^{\frac{1}{2}}}{l^3 \alpha^3} + \frac{\mathbf{C}}{l^6 \alpha^6} \right]$$

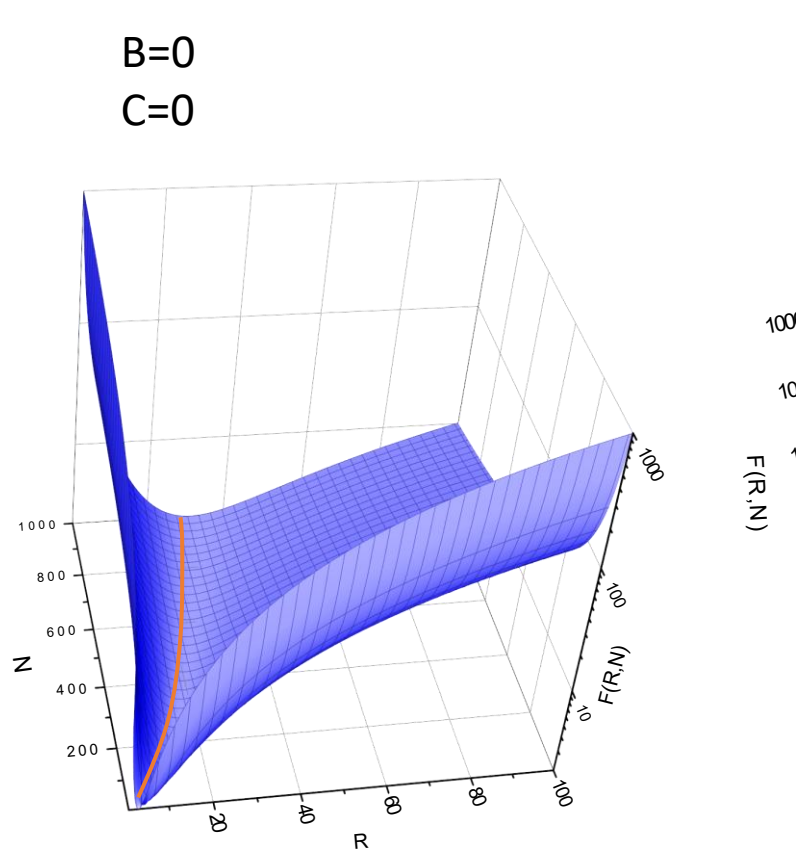
Общее выражение для свободной энергии цепи с объемными взаимодействиями:

$$F(\alpha) = k_B T \frac{BN^{\frac{1}{2}}}{l^3 \alpha^3} + k_B T \frac{C}{l^6 \alpha^6} + k_B T \left(\alpha^2 + \frac{1}{\alpha^2}\right)$$
 Минимум соответствует $\frac{\partial F}{\partial \alpha} = 0$

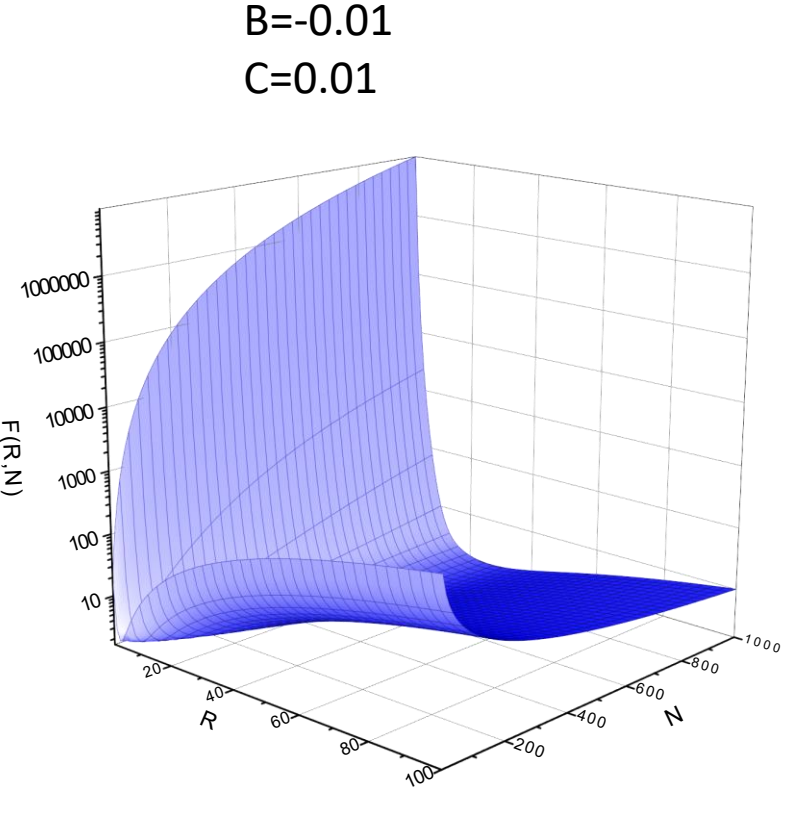
Переход клубок-глобула

Как ведет себя свободная энергия?

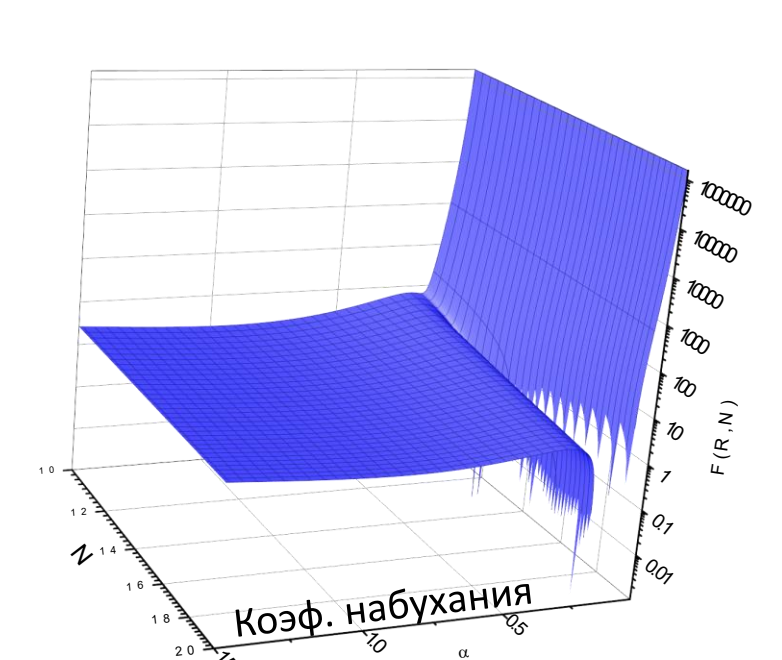
$$F(\alpha) = k_B T \left(\alpha^2 + \frac{1}{\alpha^2}\right) + k_B T \frac{B N^{\frac{1}{2}}}{l^3 \alpha^3} + k_B T \frac{C}{l^6 \alpha^6}$$



Без объемных взаимодействий – идеальная цепь



Слабые взаимодействия — как будто ничего не изменилось



B = -0.05

C=0.0001

Присмотримся поближе к точке перехода клубок-глобула

Переход клубок-глобула

Рассмотрим решение о минимизации в более удобном виде

$$\frac{\partial F}{\partial \alpha} = 0 \qquad \qquad x \equiv K_1 \frac{B N^{\frac{1}{2}}}{l^3}$$

Качество растворителя и длина цепи

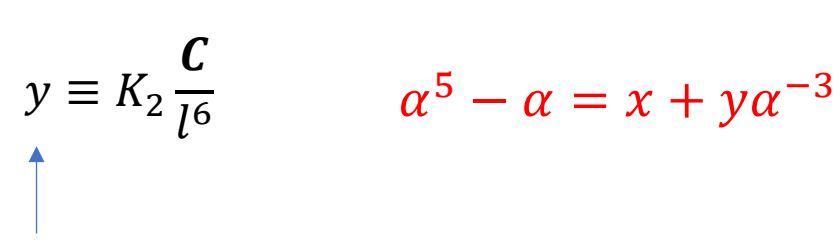
Аналог температуры

Особенности:

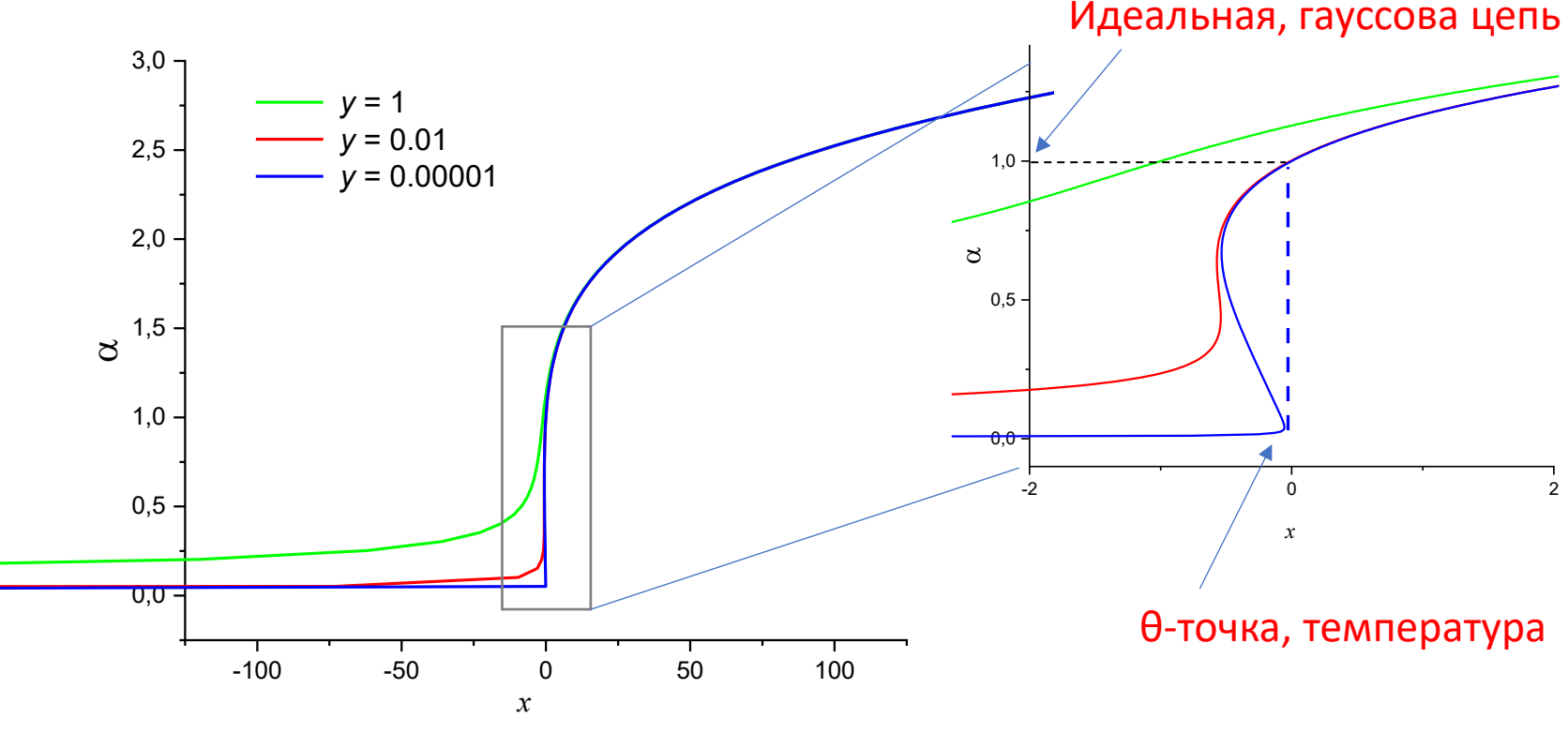
- Область перехода очень узкая
- Предколлапсовое набухание
- Несколько ниже В=0
- Для жестких скачком

Неудобные вопросы:

- Фазовый или нефазовый?
- Почему y = жесткость?
- Почему у более жесткой цепи более плотная глобула?



Жесткость цепи, определяет «резкость» перехода

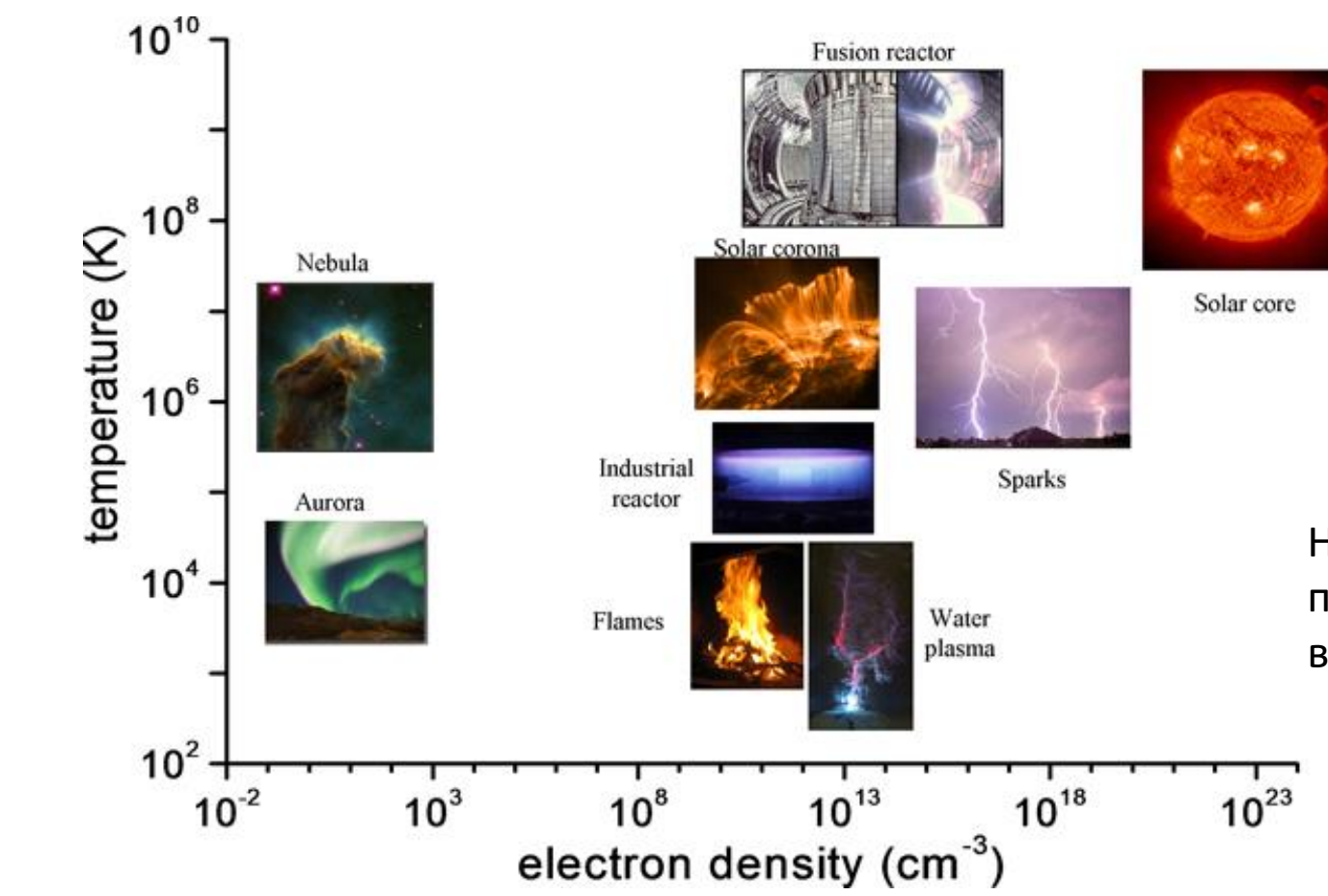


NB: изменение длины цепи перемасштабирует ось x, переход в Ө-точке только для ук<1

Плазма – четвертое агрегатное состояние вещества.

- Частичное или полное разделение зарядов
- Электронейтральность на больших масштабах

>99% барионной материи в виде плазмы





Наличие свободных зарядов позволяет пропускать электрический ток, взаимодействовать с электромагнитным полем.

Плазма в физике конденсированного состояния:

Уравнение Пуассона для электростатики $abla^2 \phi = -4\pi
ho$ определение потенциала ϕ зная плотность заряда ho

+ уравнение Больцмана $ho(\vec{r}) \sim exp\left(rac{-E(\vec{r})}{kT}
ight)$

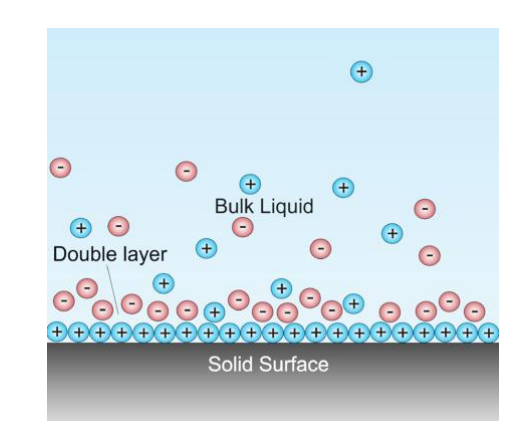
распределение плотности частиц $ho(ec{r})$ зная поле $E(ec{r})$

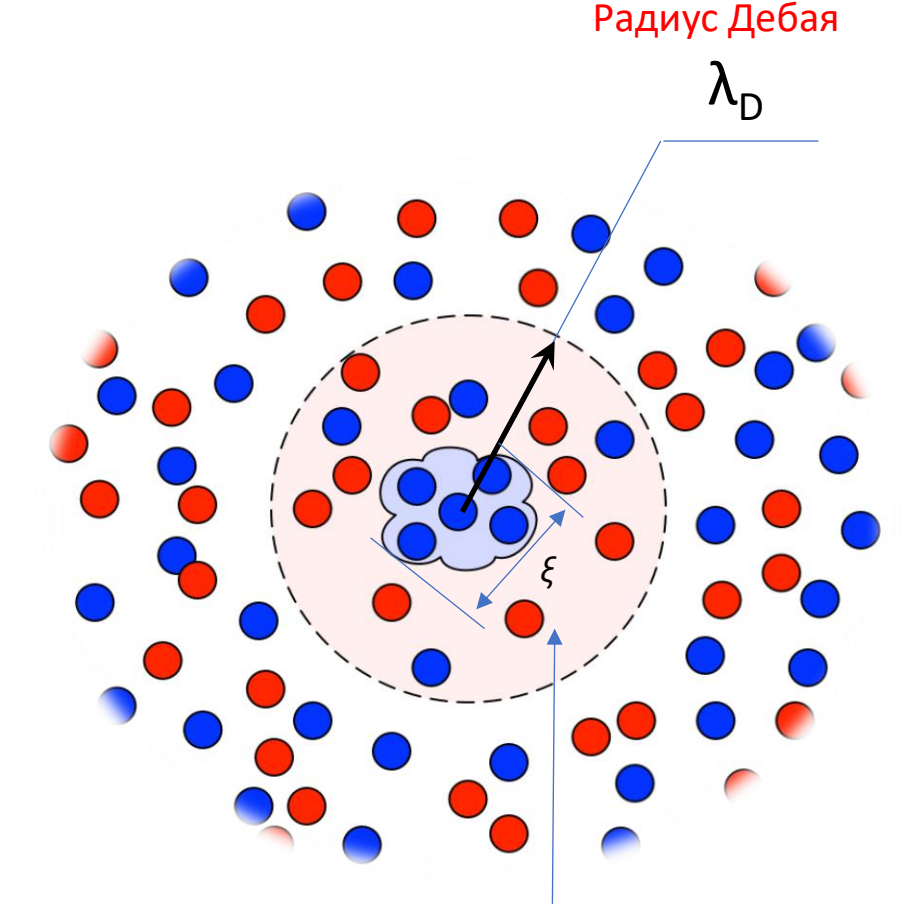
= уравнение Пуассона-Больцмана

$$abla \cdot \left[arepsilon(ec{r})
abla arphi(ec{r})
ight] = -
ho^f(ec{r}) - \sum_i c_i^\infty z_i e_0 \exp\left[rac{-z_i e_0 arphi(ec{r})}{k_{
m B} T}
ight]$$

Описывает распределение потенциала в растворе или газе перпендикулярно заряженному электроду

Изначально концепция была предложена Гуи (1910) и Чепменом (1913) для описания электрического двойного слоя.





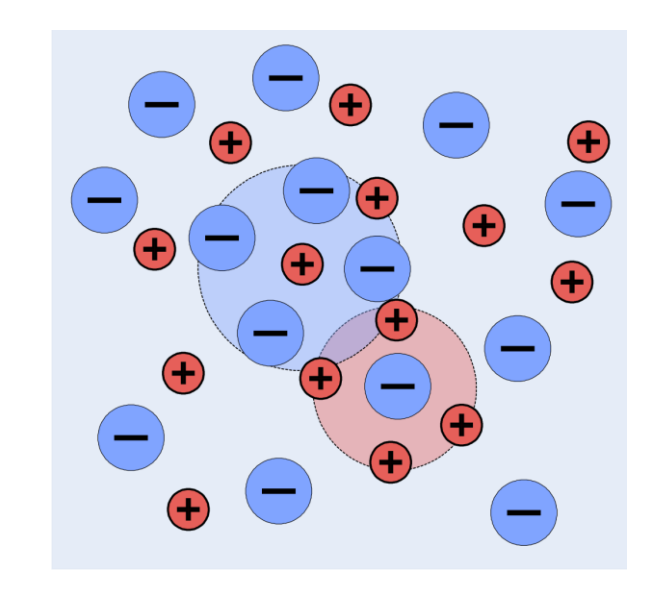
- 1. Из-за теплового движения возникают флуктуации плотности «сгустки» заряда одного знака.
- 2. Вокруг них происходит «поляризация» повышенная концентрация зарядов противоположного знака.
- Эта «шуба» размером λ_D экранирует от взаимодействий с более далекими зарядами

Теория Дебая-Хюккеля (1923)

Вокруг каждого заряда есть облако противоположного знака.

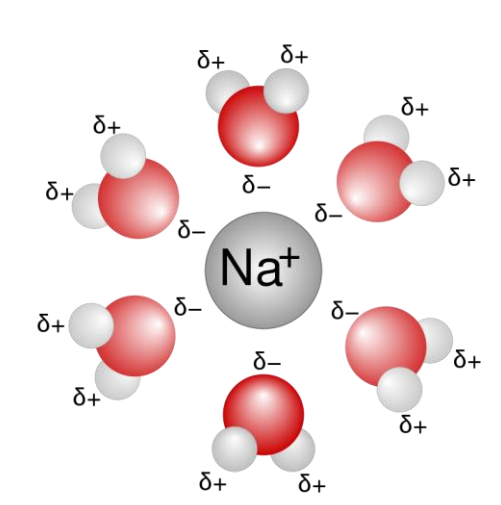
Решение уравнения Пуассона-Больцмана в приближении слабого поля и точечных зарядов:

Радиус Дебая
$$\varphi(\vec{r}) = \frac{e}{\varepsilon r} exp\left(-\frac{r}{\lambda_D}\right), \text{ где } \lambda_D = \sqrt{\frac{\varepsilon kT}{4\pi n e^2}}$$
 Общая концентрация зарядов Заряд в одном «сгустке» размера ξ

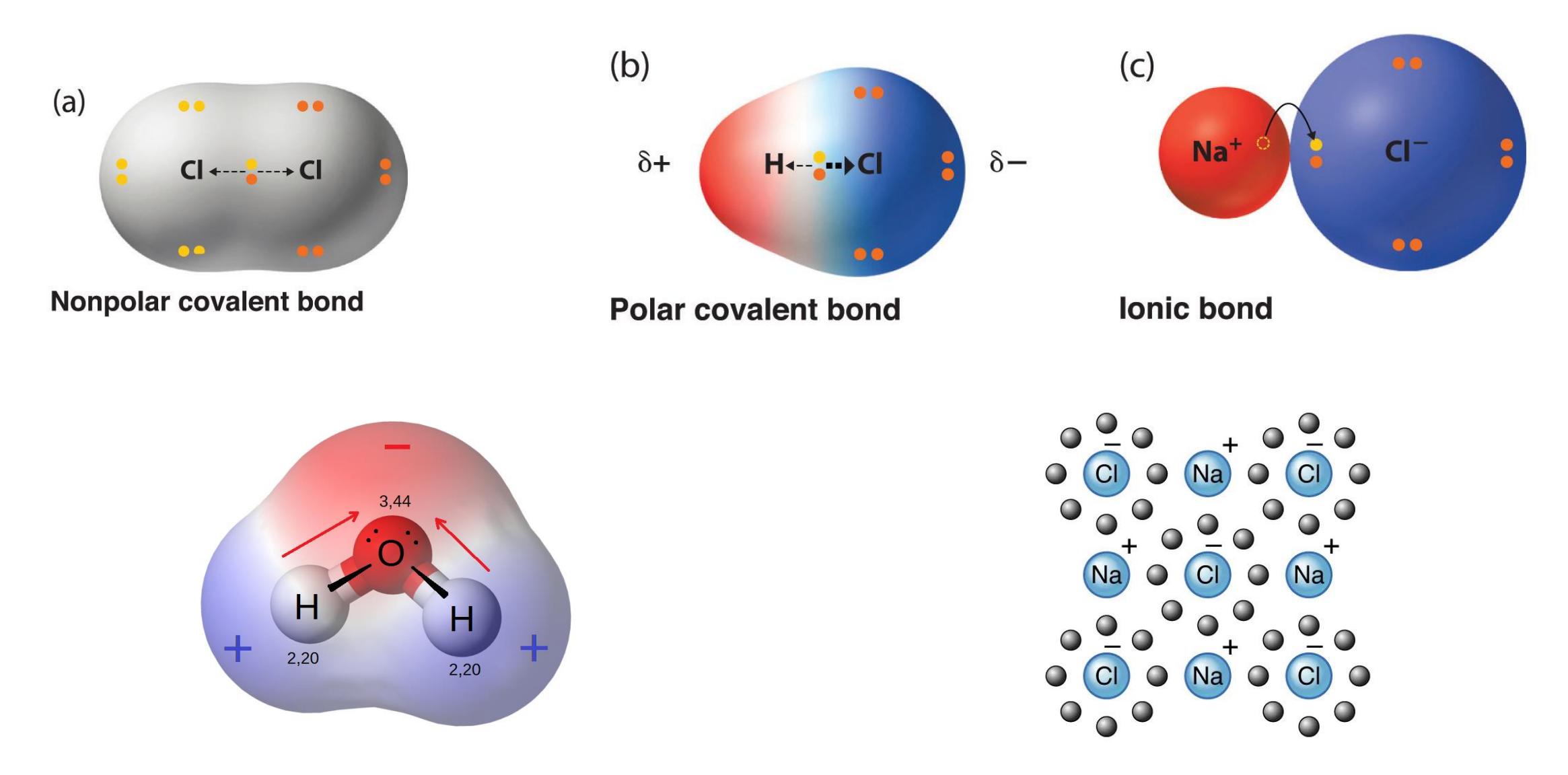


Основные недостатки:

- 1. Сильно разбавленные растворы, до 0.01 М
- 2. Полная диссоциация, все противоионы отдельно.
- 3. Модель точечных зарядов:
 - Неучет размера иона
 - Неучет гидратной оболочки.
 - Неучет ассиметрии ионов.



Природа возникновения зарядов: перенос электронной плотности



Вода: пример «полярного» растворителя

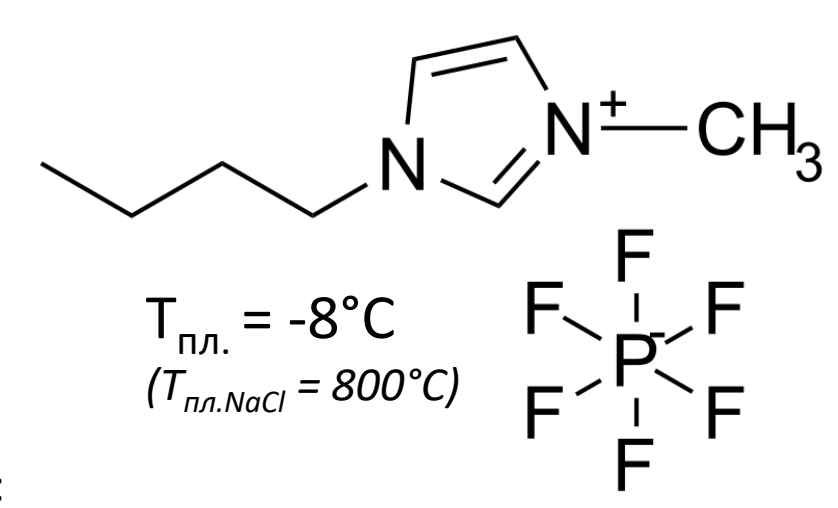
Поваренная соль: пример твердого вещества 21

Ионные жидкости (ionic liquids)

liquid electrolytes, ionic melts, ionic fluids, fused salts, liquid salts

Соль в жидкой форме, т.е. $T_{пл.}$ ≈ $T_{комн.}$

1-бутил-3-метилимидазол гексафторфосфат, [BMIM]PF₆ (1-butyl-3-methylimidazolium hexafluorophosphate)



Свойства:

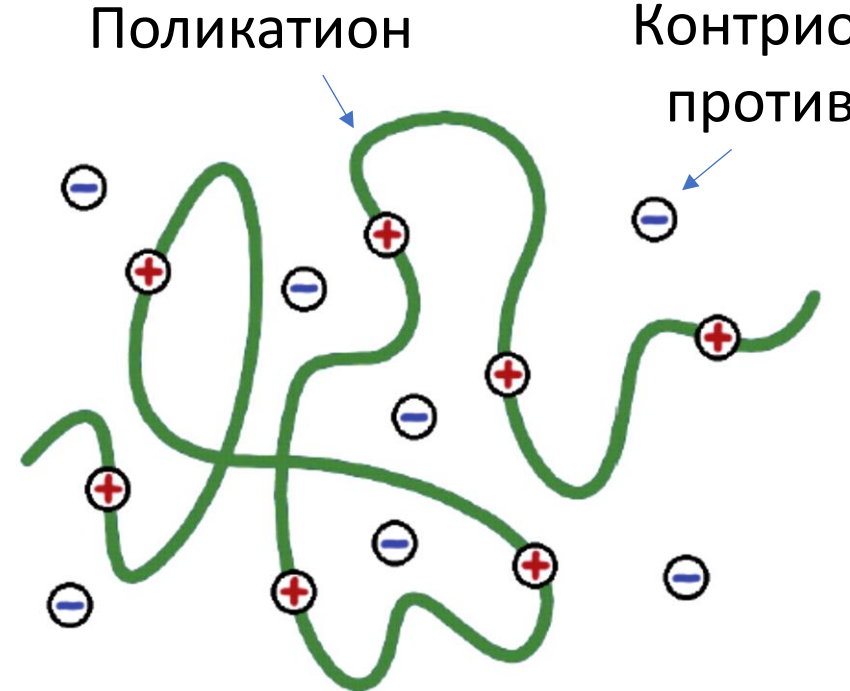
- Слабая ионная связь
- Очень низкое давление насыщенных паров
- Хорошо растворяют многие вещества
- Высокая ионная проводимость
- <u>Могут быть полимеризованы</u>





Катионы	Анионы	
H ₃ C N CH ₃ CH ₃	F S N S F	
N,N-diethyl-N-methyl-N-(2-methoxyethyl) ammonium, [DEME] ⁺	Bis(fluorosulfonyl)imide, [FSI]	
H ₃ C R	F S S S F S S S S S S S S S S S S S S S	
N-methyl-N-alkyl pyrrolidinium, [C _n mpyr])	Bis(trifluoromethanesulfonyl)amide,[NTf ₂]	
H ₃ C R	F—B—F	
N-methyl-N-alkyl piperidinium, [C _n mpip] ⁺	Tetrafluoroborate, [BF ₄]	
R_3 N R_1	N N N	
1,2-dialkyl methylimidazolium, $C_nC_{n'}mim]^{+}$	Dicyanamide, [d@a]	

Полиэлектролиты* = полимер + заряды



Контрион, или противоион

> Как правило, количество противоионов всегда равно количеству заряженных групп на полимере + могут быть еще низкомолекулярные ионы от растворенной соли.

NB: ДНК, РНК, белки – тоже полиэлектролиты.

DNA Полианион HO-CH₂

Электростатические силы действуют параллельно с объемными и энтропийными!

^{*} В последнее время так иногда называют polymer electrolytes – ион-проводящие полимерные системы для электрохимических приложений (Li-lon аккумуляторов, топливных элементов и т.д.)

Классификация и режимы

- По знаку групп на полимере: полианион-поликатион-полиамфолит
- По доле заряженных групп: сильный-слабый
- По концентрации низкомолекулярной соли: солевой-безсолевой
- + обычные режимы:
- По степени набухания: набухший-поджатый
- По концентрации полимера: одиночные цепи концентрированный раствор расплав

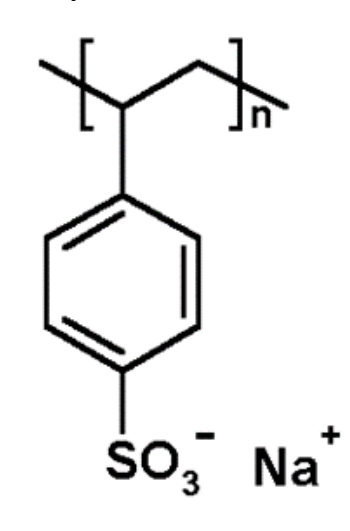
Сильный

Все группы всегда разделены.

Сульфированный полистирол (PSS)

Полиамингидрохлорид

$$-CH_2-CH$$



Слабый

Лишь небольшая доля групп разделена. Зависит от условий.

Константа диссоциации.

Тип константы равновесия, характеризующей способность комплекса распасться на несколько составляющих В реакции $A_x B_y \leftrightarrow xA + yB$ константа диссоциации $K_D = \frac{[A] \cdot [B]}{[A_x B_y]}$, где [..] – концентрация компонент

При x = y = 1: если $K_D = [A]$, то [B] = [AB].

 K_D это такая концентрация компоненты A, при котором половина компоненты B связана в комплекс AB

Степень Диссоциации α или f – доля диссоциировавщих (разделившихся) компонент (ионов).

В случае полимеров обычно обозначает долю заряженных групп на цепи.

В основном диссоциация имеет смысл для слабых электролитов.

Для сильных электролитов $K_D \to \infty$, a=1.

В реакции $[AB] \rightleftarrows [A^-] + [B^+]$

$$[A^-] = [B^+] = \alpha \cdot c, \qquad [AB] = c - \alpha \cdot c = c(1-\alpha), \qquad \mathsf{K} = \frac{\alpha \cdot c \cdot \alpha \cdot c}{c(1-\alpha)} = \frac{\alpha^2 c}{(1-\alpha)} \qquad \qquad \mathsf{При} \ \alpha \ll 1 \ \alpha \approx \sqrt{\frac{\mathsf{K}}{c}}$$

Изоэлектрическая точка pl — значение кислотности при которой молекула (или поверхность) не имеет заряда.

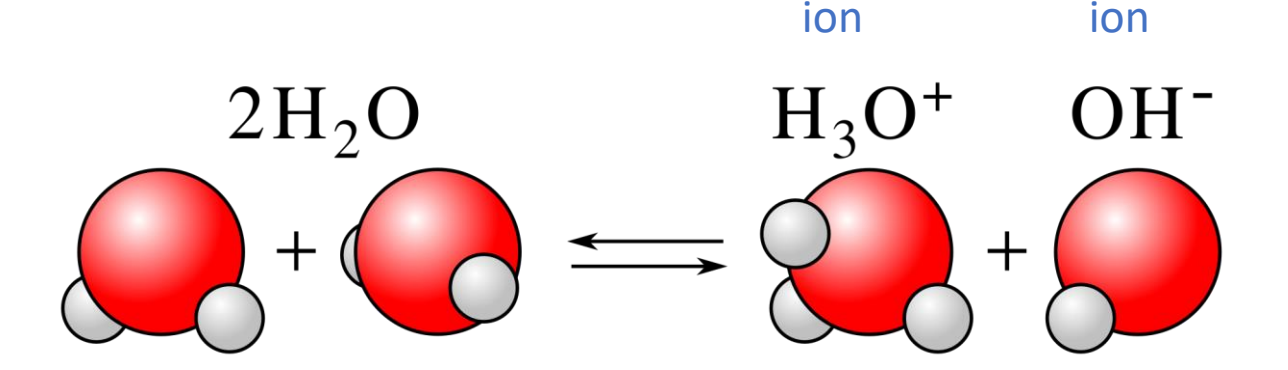
Обычно для тех молекул, которые могут как окисляться, так и восстанавливаться («цвиттер-ионы», «амфотерики»), регулируется добавлением дополнительной щелочи или кислоты.

Константа диссоциации воды

$$H_2O + H_2O \rightleftharpoons H_3O^+ + OH^-$$

В разбавленных средах концентрации примерно равны

$$K_w = \frac{[H_3O^+] + [OH^-]}{[H_2O]} = 10^{-14}$$



hydronium

Аррениус (1884): $H_2O \rightleftharpoons H^+ + OH^-$ Но одиночный протон имеет очень сильное поле и всегда ассоциирует с другими молекулами

Константа диссоциации воды = константа ионизации = константа самоионизации = ионное произведение

Для удобства обычно переходят к показателям степени с помощью логарифмирования:

$$pK_w = -log_{10} K_w$$
, $pK_w = pH + pOH$

Концентрация Н⁺ Концентрация ОН⁻

hydroxide

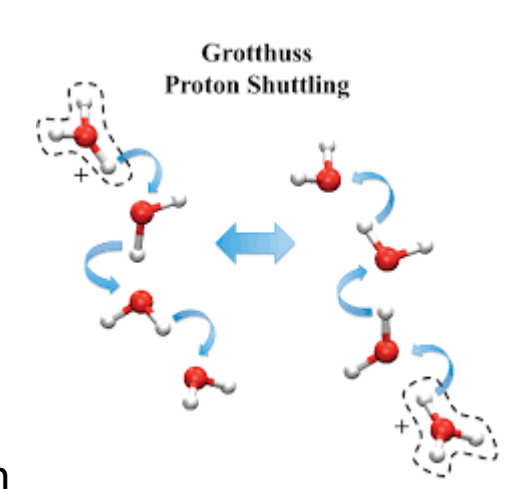
pH – "водородный показатель", pondus Hydrogenii

В чистой воде концентрации ионов водорода ([H+]) и гидроксид-ионов ([OH-]) одинаковы и составляют по 10^{-7} моль/л. Это обозначается pH=7.



Скорость диссоциации обычно очень высокая, в жидкости молекулы подвижны, а значит возможна ионная проводимоть. в том числе прононная проводимость:

Seawater 50 mS/cm Rain or Snow water 10 μ S/cm Pure distilled and Deionized water 0.05 μ S/cm







Длина Бъеррума

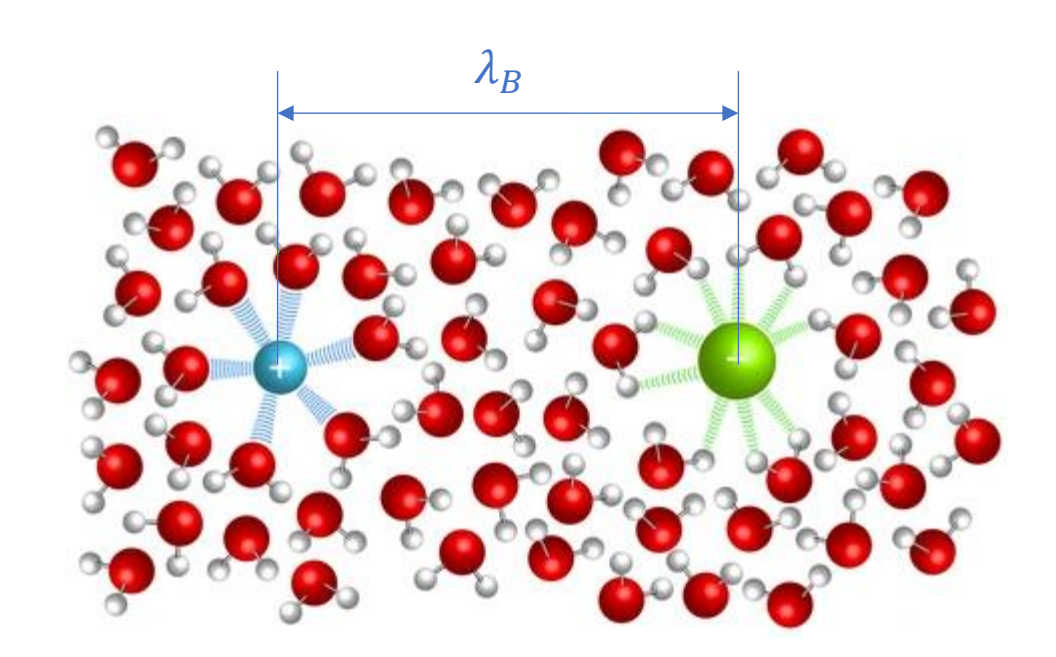
$$\lambda_B = \frac{e^2}{\varepsilon kT}$$

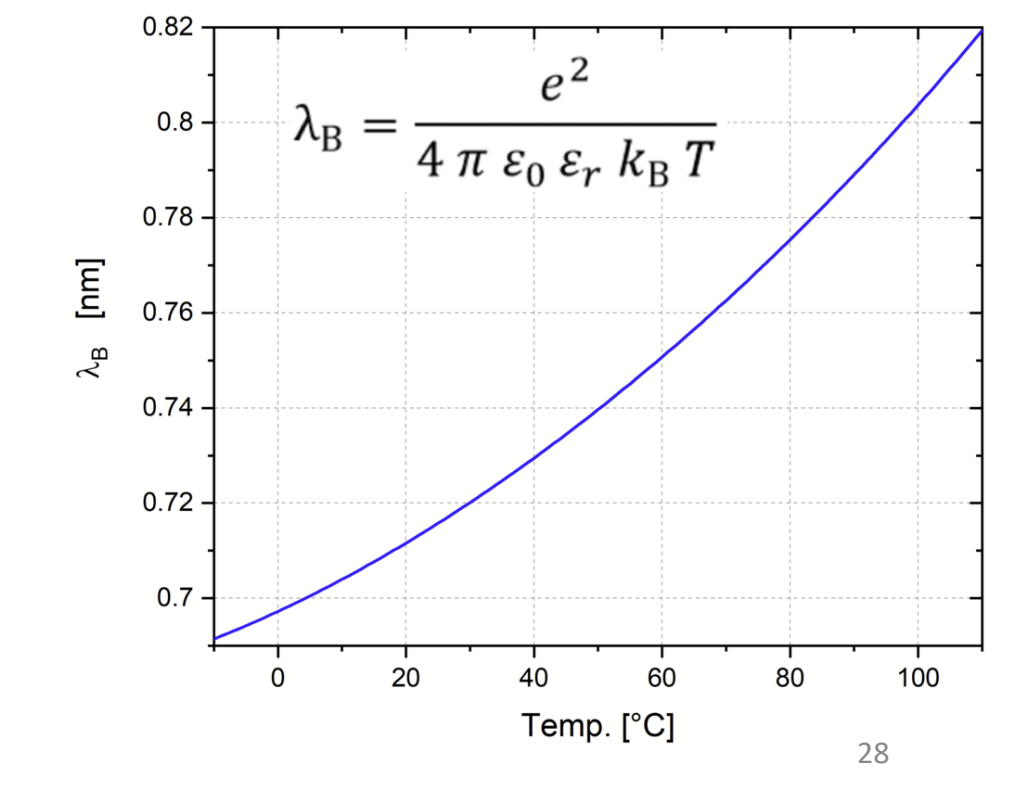
На каком расстоянии электростатические взаимодействия сравняются с тепловыми флуктуациями и ими можно пренебрегать.

или:

- Как близко можно приблизить два электрона с энергией *kT*.
- На каком расстоянии анион и катион не слипнутся.

Сильно зависит от растворителя





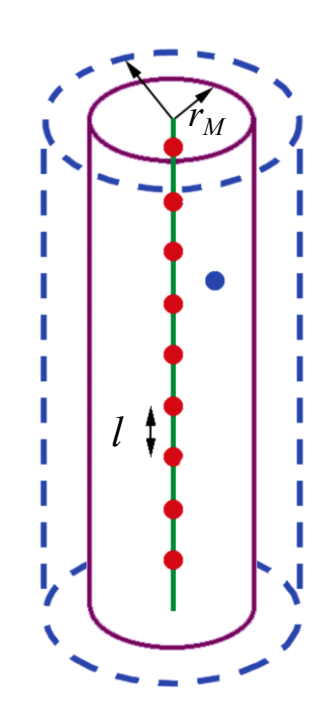
 $\lambda_{\mathsf{B}} \approx 7 \text{Å}$ в чистой воде при комнатной температуре

Одиночная цепочка

Конденсация противоионов (Manning 1969).

Ионы не уходят от цепи когда сила кулоновского взаимодействия:

$$\frac{\lambda_B}{l_{charge}} > 1$$

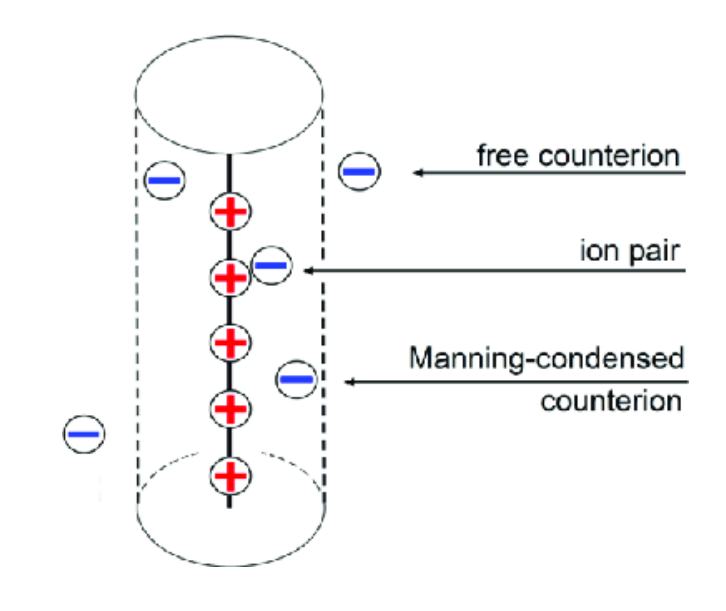


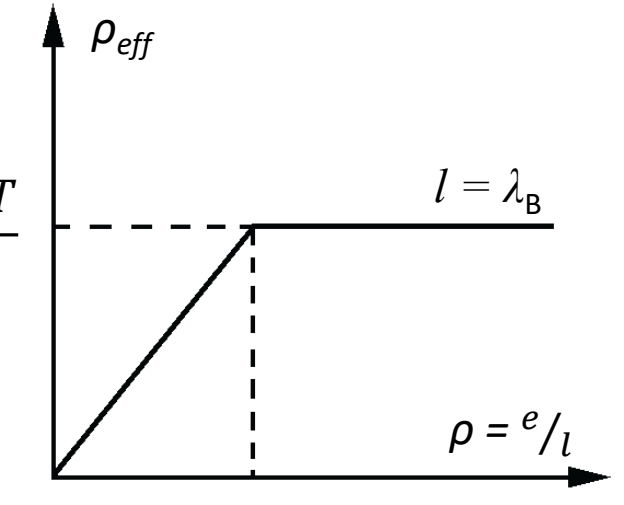
Или: расстояние между зарядами вдоль по цепи не может быть меньше чем длина Бъеррума $\lambda_{\rm B}$

Все «лишние» заряды конденсируются в радиусе r_{M}

 $\lambda_{\rm B}$ = 7Å в чистой воде, a = 3-4Å, поэтому конденсация противоионов — частое явление

Три типа противоионов:

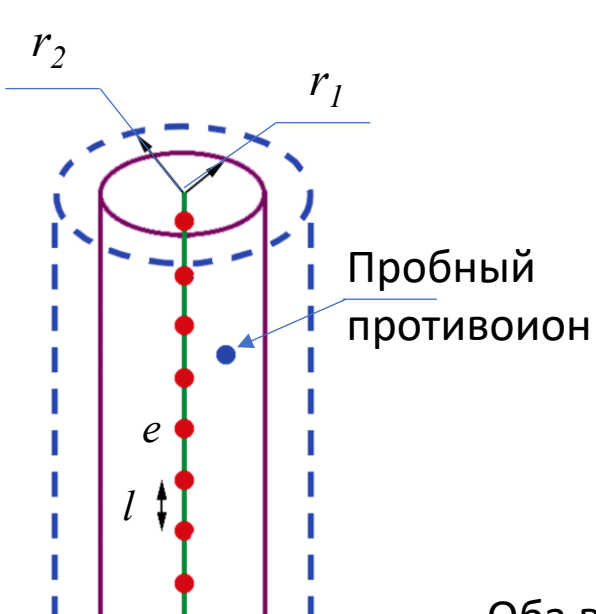




В основном конденсация присутствует для сильных электролитов. Для слабых электролитов она бывает только в режиме плохого растворителя (глобулы на цепочке). Приближение вытянутой цепи и точечных зарядов.

Почему происходит конденсация противоионов?

Конкуренция трансляционной энтропии и электростатического притяжения.



Посчитаем свободную энергию при перемещении противоиона из r_I в r_2 ($r_I < r_2$), F = E – T S.

Вклад трансляционной энтропии: $\Delta F_S \sim kT \ln \frac{V_2}{V_1} \sim kT \ln \frac{r_2}{r_1}$

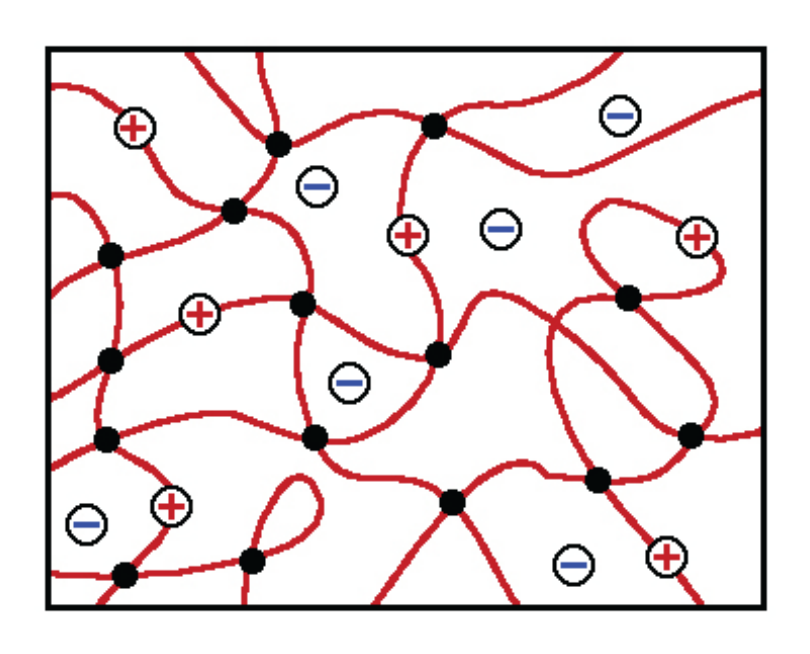
Электростатика: $\Delta F_E \sim -e\Delta \varphi \sim e \frac{\rho}{\varepsilon} \ln \frac{r_2}{r_1} \sim \frac{e^2}{\varepsilon l} \ln \frac{r_2}{r_1}$

Оба вклада пропорциональны $\ln \frac{r_2}{r_1}$, следовательно все зависит от соотношения

коэффициентов перед логарифмом: $\frac{e^2}{\varepsilon lkT} = \frac{\lambda_B}{l}$

Полиэлектролитные гели и осмотическое набухание (Tanaka 1978)

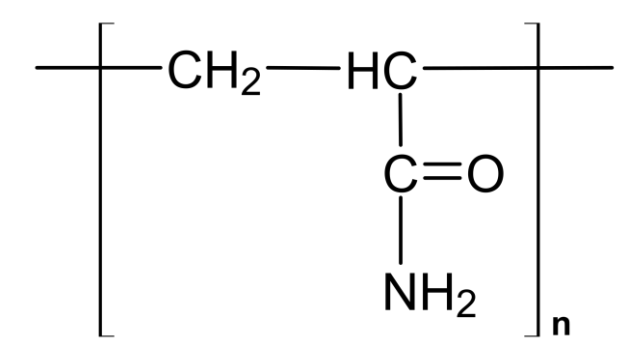
Гель — макрообъект, противоины не могут покинуть его из-за электронейтральности. Возникает дополнительное осмотическое давление противоионов.



Фактически при диссоциации противоионы превращаются в идеальный газ, раздувающий гель в сотни раз!

Незаряженные гели набухают всего в 5-15 раз.

Полиакриламид



Время релаксации макрогеля — от часов до дней и даже месяцев!

Это могут исправить микрогели.

Как этот эффект зависит от температуры и низкомолекулярной соли? Почему набухшие гели механически не прочные?

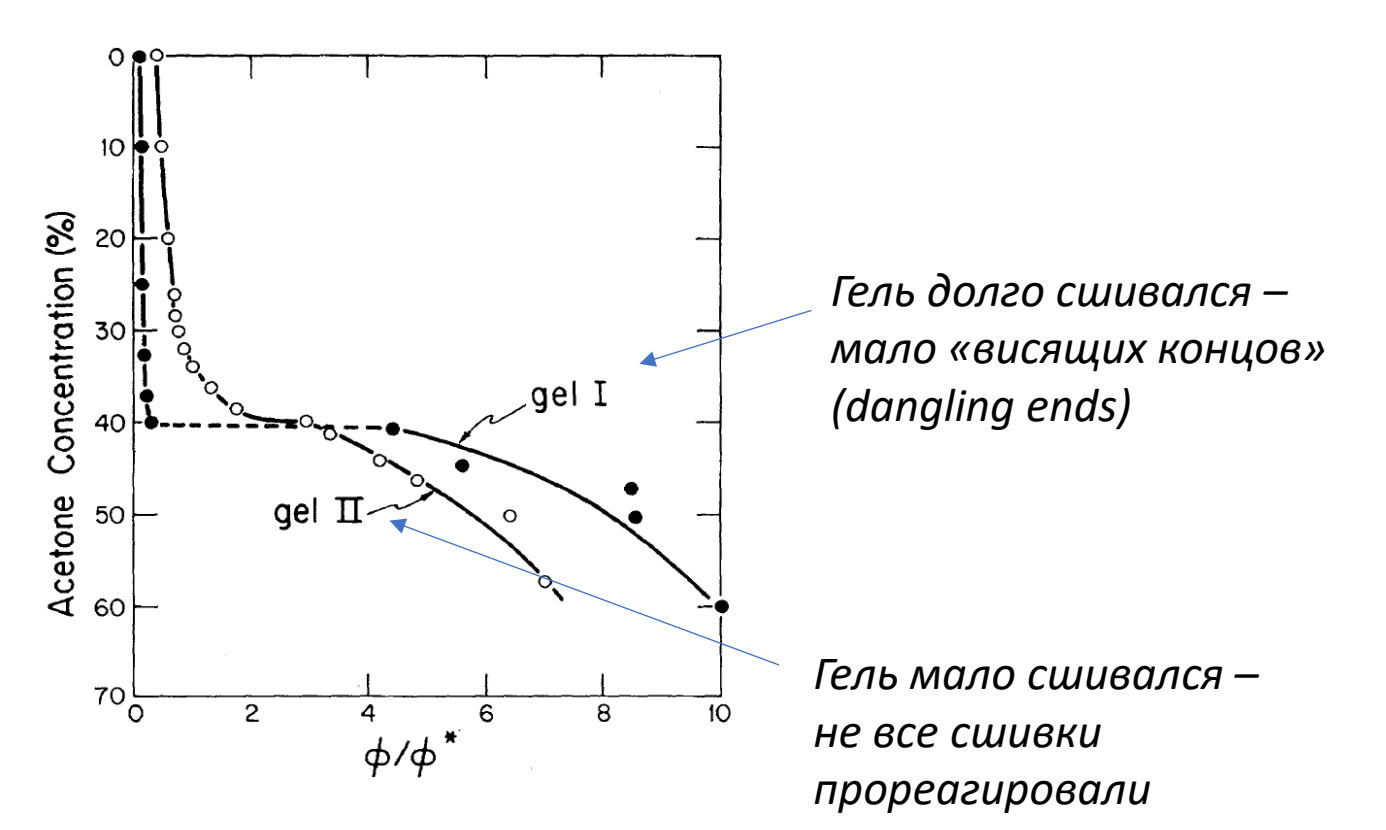
Очень резкий скачкообразный переход На практике – корка на макрогеле

Collapse of Gels and the Critical Endpoint

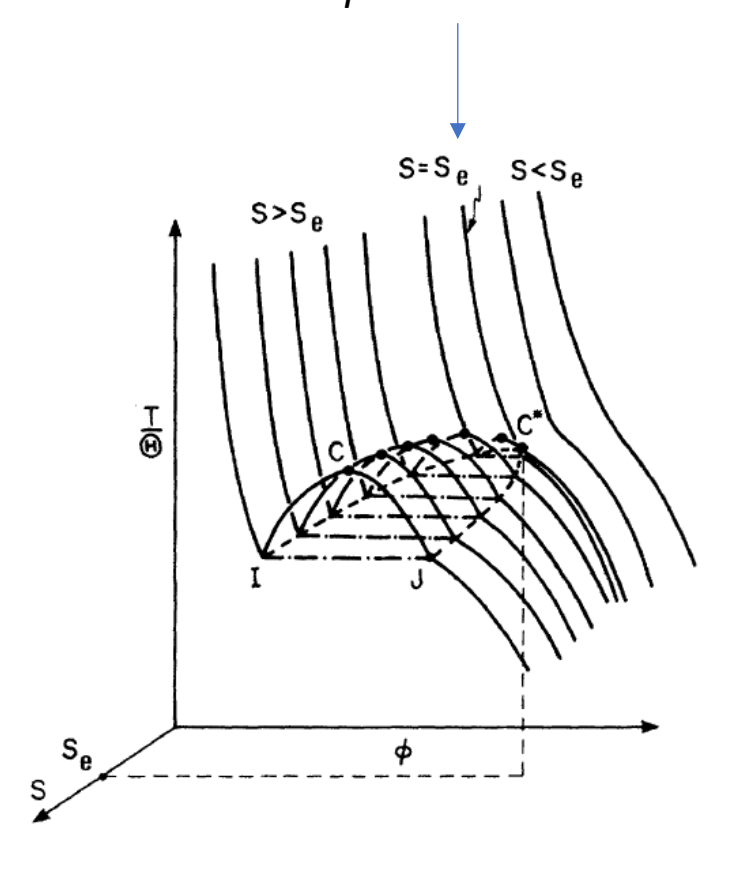
Toyoichi Tanaka

Department of Physics and Center for Materials Science and Engineering, Massachusetts Institute of Technology, Cambridge, Massachusetts 02139
(Received 19 December 1977)

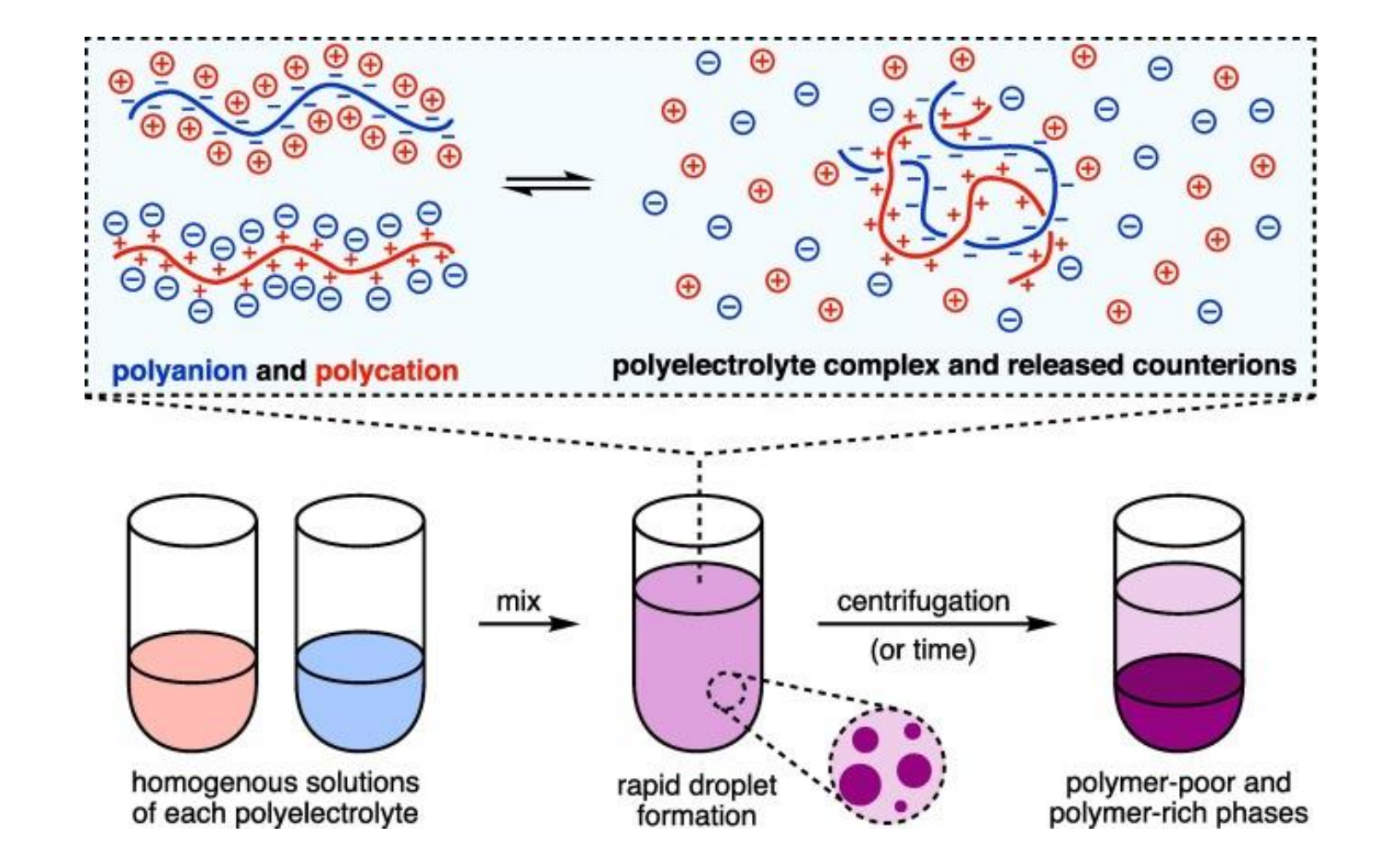
Collapse of polyacrylamide gels is observed upon changing temperature or fluid composition. It is explained in terms of mean-field theory based on the extension of Flory's formula for free energy of gels. Theory predicts, and I have observed, existence of a critical endpoint in the phase equilibria.



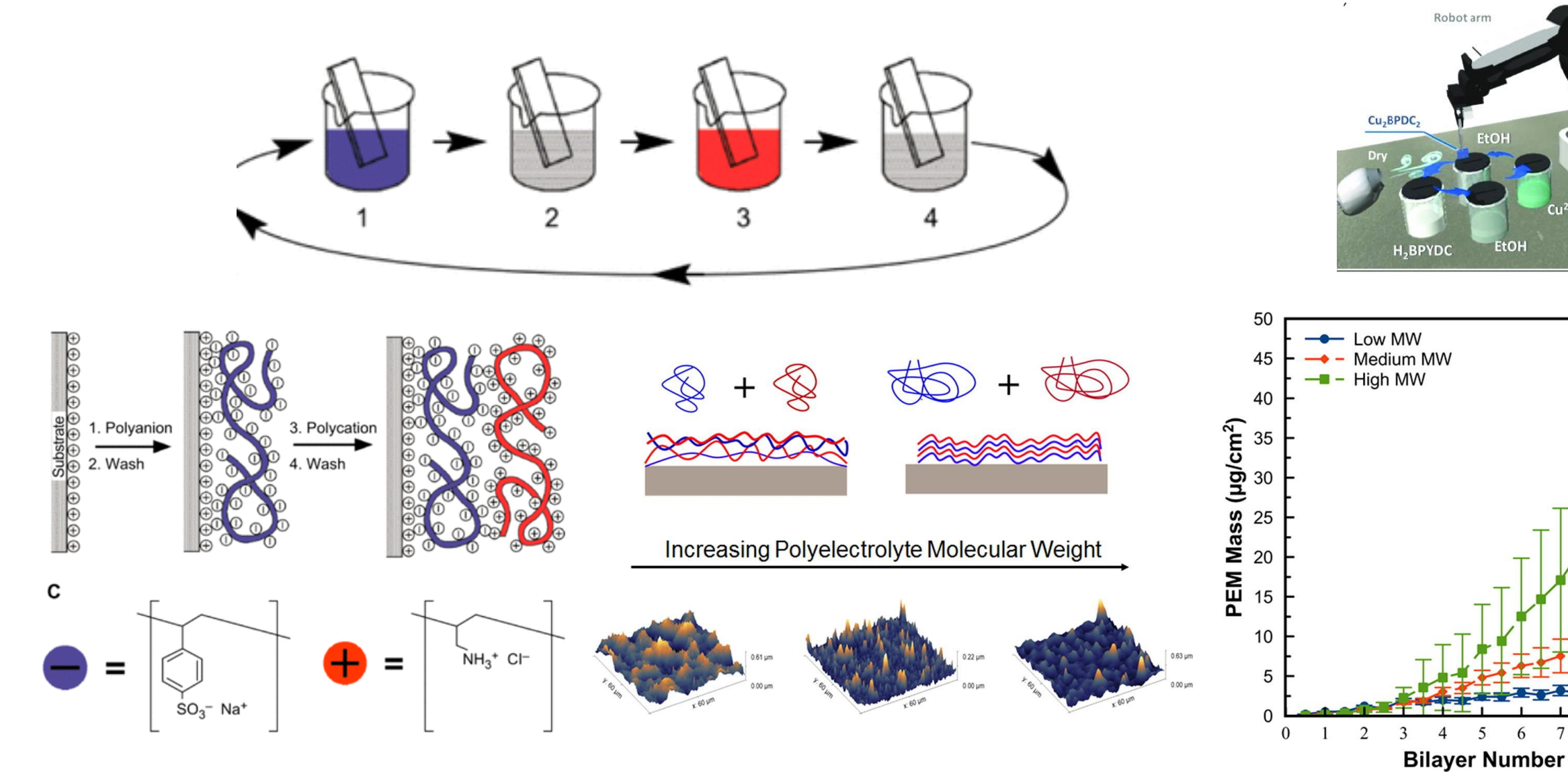
Отношение упругости и осмотического давления противоионов



Взаимодействие противоположно заряженных полиэлектролитов



Метод послойной сборки LbL (Layer-by-Layer)



Применяется не только для покрытий, но и для пленок, коллоидов и т.д.

Агрегация благодаря многовалентным ионам

«Физические сшивки» полимерных систем

